



Vorlesung Fahrzeugmechanik (Kap. 10: Querdynamik)

Hochschule Ulm, WS 2017/18

Theodor Großmann



Die Fahrdynamik oder Fahrverhalten wird im Allgemeinen in die Teilgebiete „Ride“ und „Handling“ aufgeteilt.

Begriffsdefinition „Ride“:

Ride umfasst den niederfrequenten Komfort (< 30 Hz). Es werden hierbei keine akustischen Signale mitbenutzt. Die Bewegungen finden vor allem vertikal statt. (Straßeninduziertes Verhalten)

Begriffsdefinition „Handling“:

Handling beschäftigt sich vor allem mit quer- und längsdynamischen Manövern. Die Frequenzen liegen im Bereich unterhalb von 5 Herz. (Fahrerinduziertes Verhalten)

„Open Loop“-Manöver:

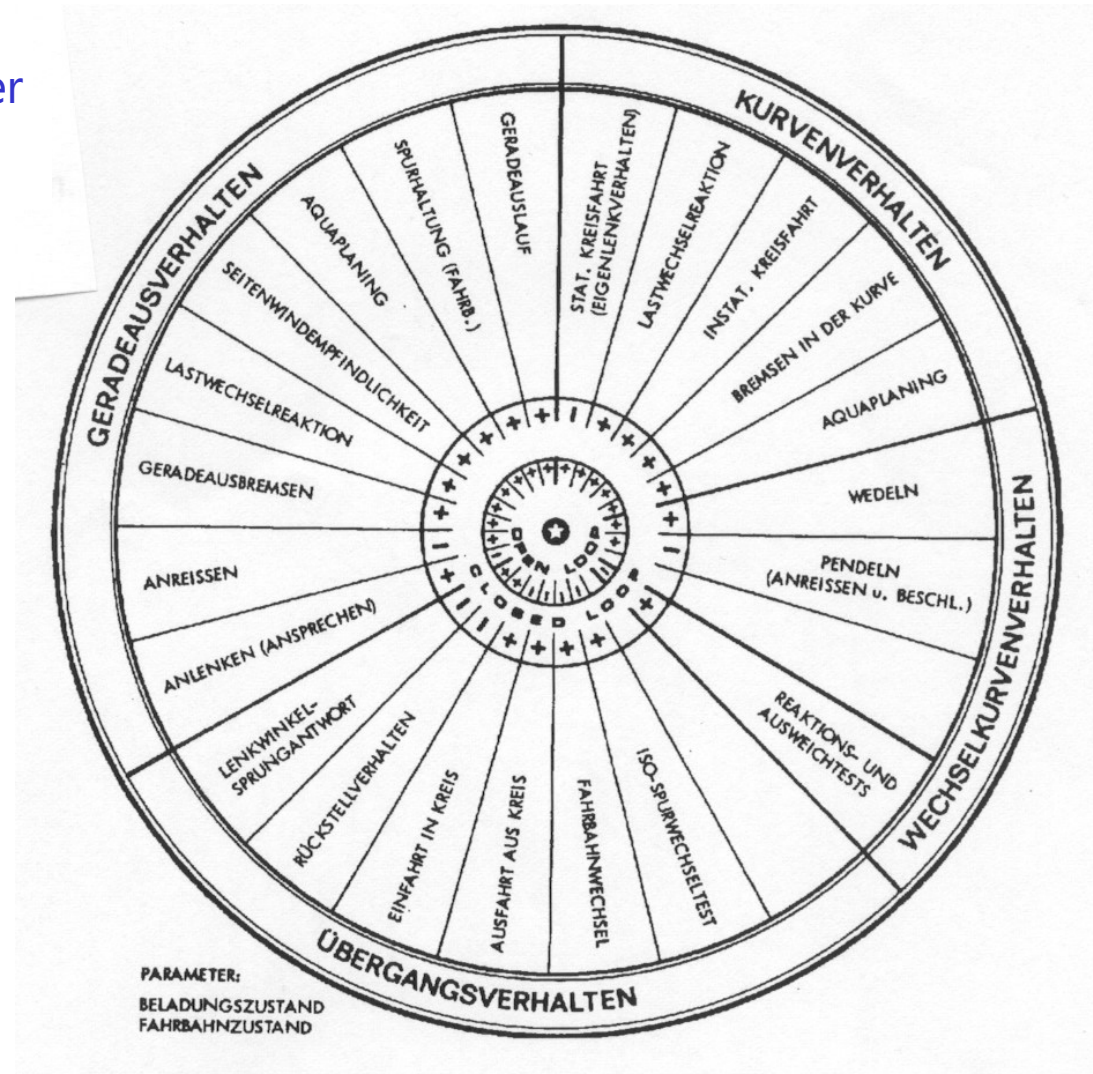
Bei Open Loop Manövern sind die Aktivitäten des Fahrers fest vorgegeben, mit anderen Worten, der Fahrer regelt seine Fahraufgabe nicht aus.

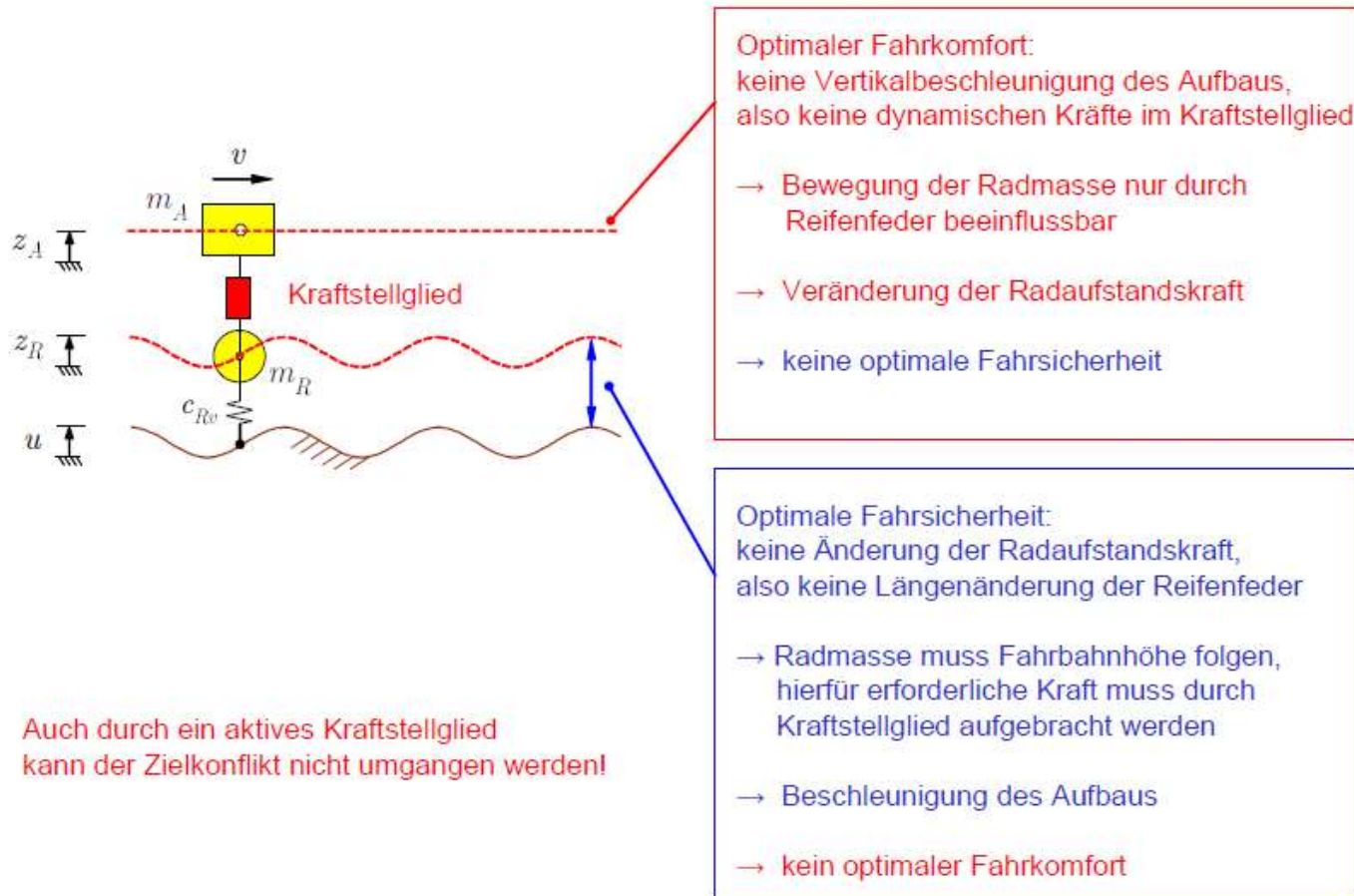
„Closed Loop“-Manöver:

Der Fahrer bekommt eine Fahraufgabe, die er durch den Regelkreis „Fahrer Fahrzeug Umwelt“ zu erfüllen versucht.

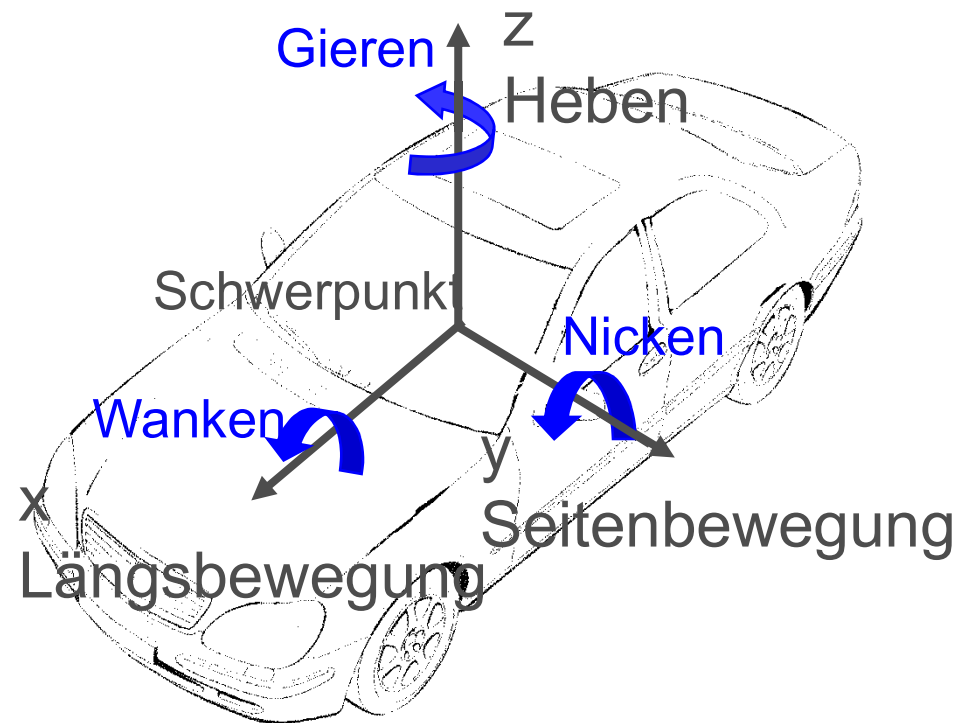


- a) Handling-Manöver
- b) Ride Manöver





Zielkonflikt zwischen Fahrkomfort und Fahrsicherheit

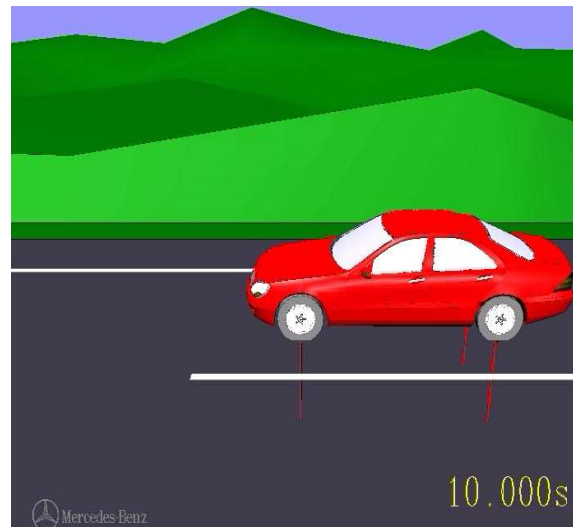




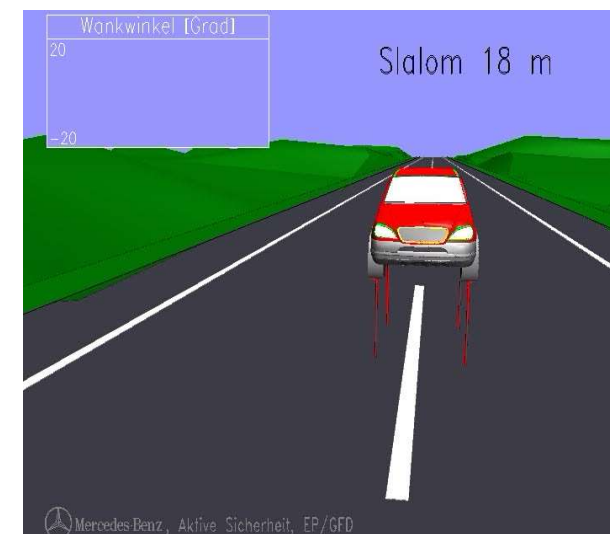
Gieren: Bremsen auf μ -split



Nicken: Anfahren und Bremsen



Wanken: Slalom 18m



Grundlagen Annahme des Einspurmodells

Annahmen für lineares Einspurmodell:*

Achsen:

Beide Räder einer Achse werden zu einem Rad in Achsmitte zusammengefasst.

Radführung (Kinematik + Elastokinematik):

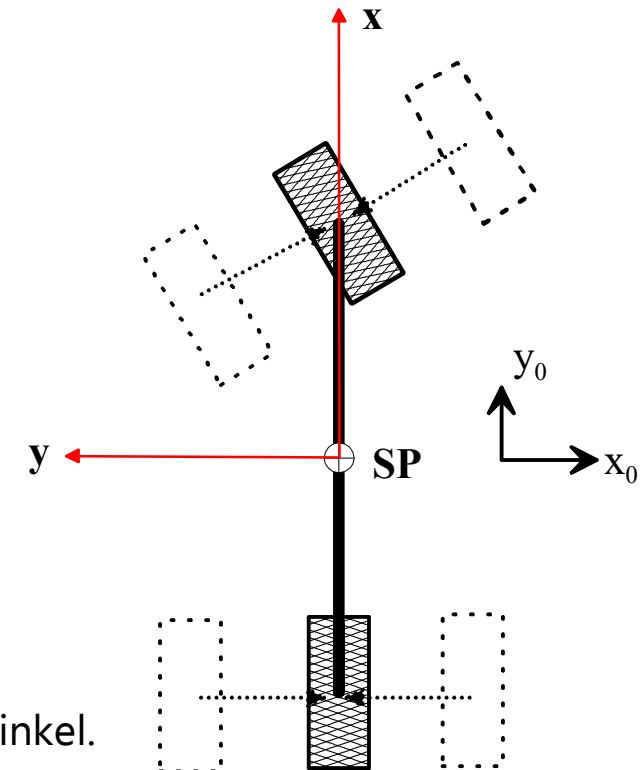
Radführung ist linear.

Ebenes Modell:

Der Fahrzeugschwerpunkt liegt in Fahrbahnhöhe.
(Kein Fahrzeug-Wanken)

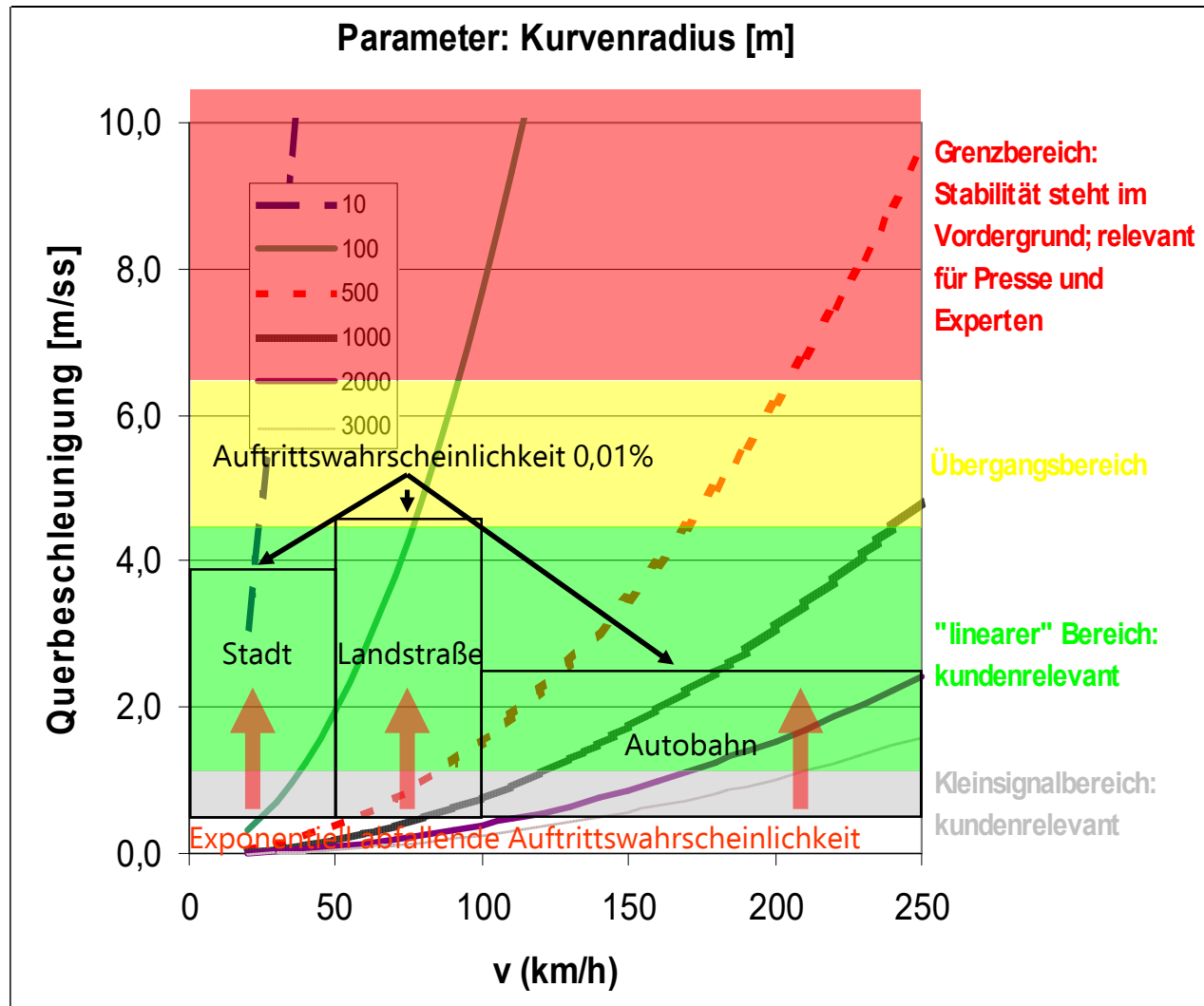
Lineares System:

- Die Reifenseitenkraft ist proportional dem Schräglaufwinkel.
- Reifenrückstellmoment wird vernachlässigt.
- Kein Reifeneinlaufverhalten



* Je nach Definitionsgrad können die Annahmen variiert und Nichtlinearitäten vereinfacht eingeführt werden.

Die Auftrittswahrscheinlichkeit der Querschleunigungen nimmt für den normalen Kunden exponentiell mit der Querschleunigung ab.

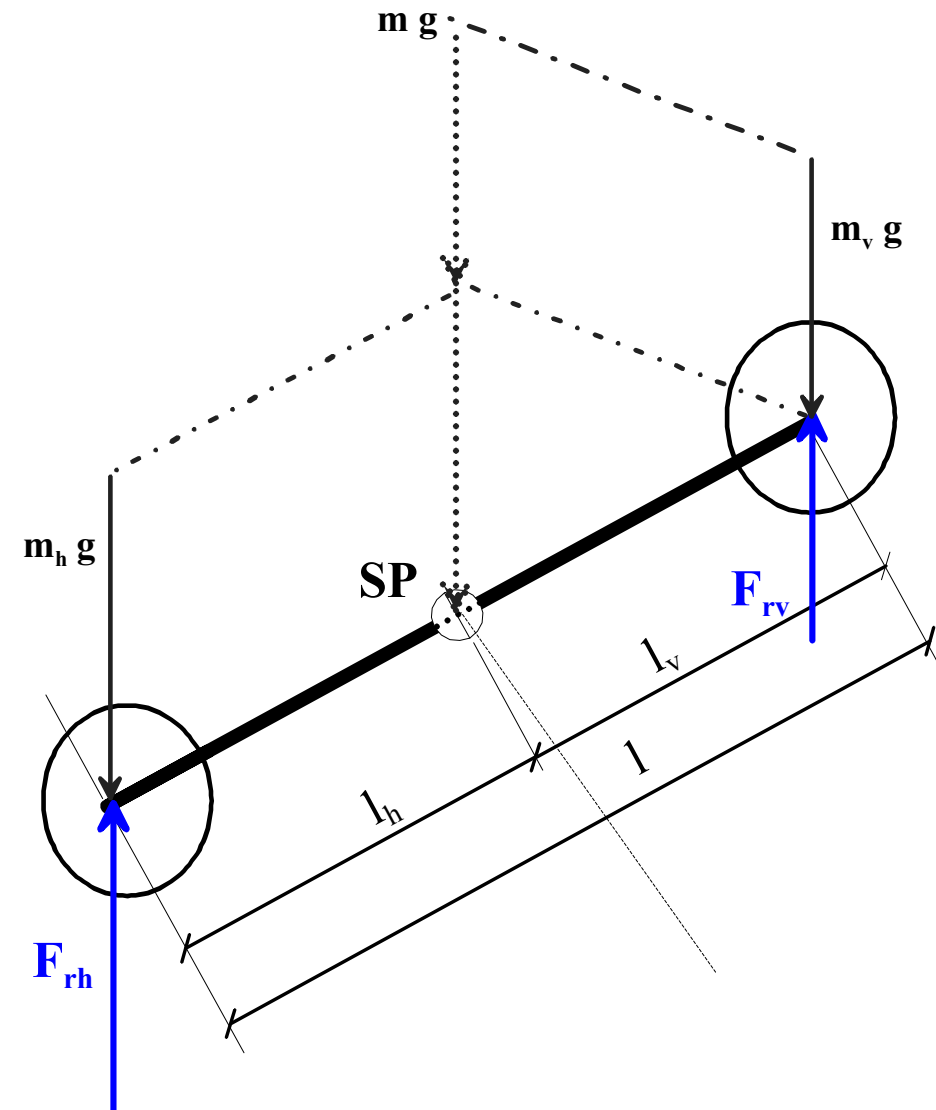


Momentenbilanz mit Vertikalkräften:

$$\begin{aligned} m \cdot g \cdot l_h &= m_v \cdot g \cdot l \Rightarrow m_v = \frac{l_h}{l} m \\ m \cdot g \cdot l_v &= m_h \cdot g \cdot l \Rightarrow m_h = \frac{l_v}{l} m \end{aligned}$$

$$m_v + m_h = m$$

SP : Schwerpunkt
 m : Gesamtmasse
 m_v : Achslast der Vorderachse
 m_h : Achslast der Hinterachse
 l : Radstand
 l_v : Abstand Vorderachse vom Schwerpunkt
 l_h : Abstand Hinterachse vom Schwerpunkt



Aus Momentenbilanz mit Querkraften:

$$F_{sv} \cdot \cos \delta \cdot l = l_h \cdot m \cdot a_y$$

$$F_{sh} \cdot l = l_v \cdot m \cdot a_y$$

Für kleine Winkel gilt: $\cos \delta \approx 1$ und damit:

$$F_{sv} = \frac{l_h}{l} \cdot m \cdot a_y$$

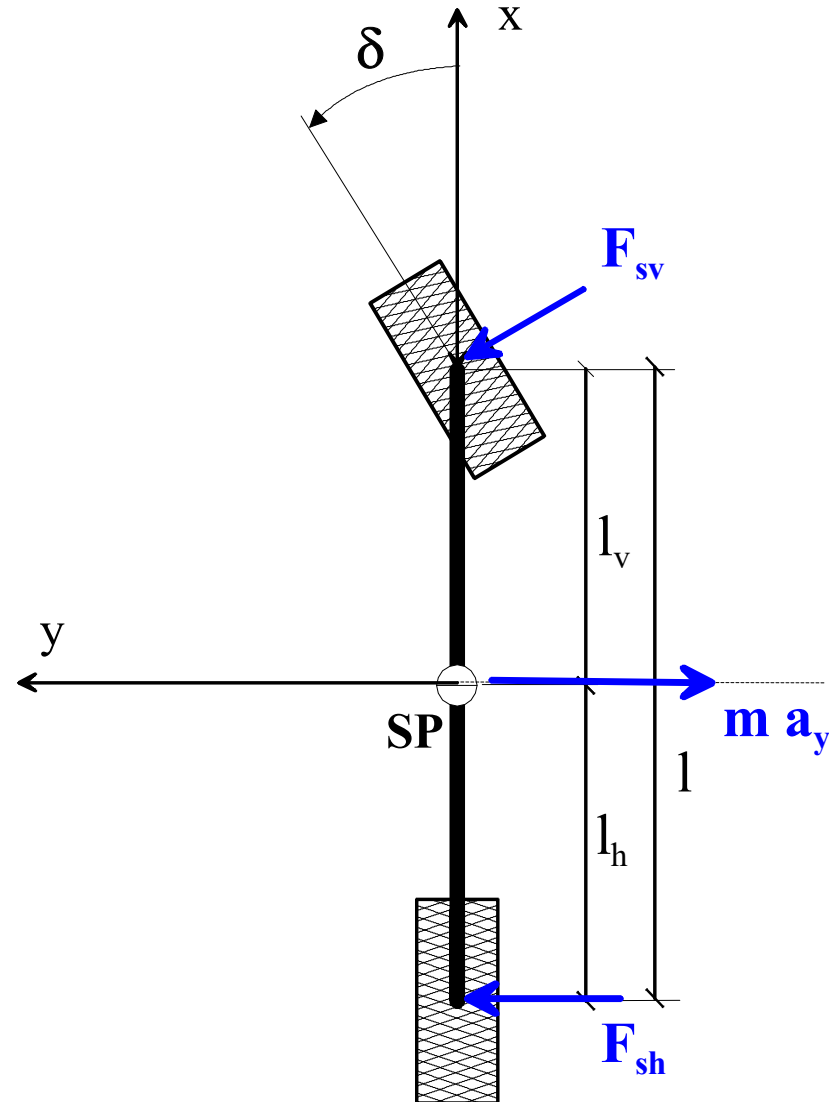
$$F_{sh} = \frac{l_v}{l} \cdot m \cdot a_y$$

F_{sv} : Seitenkraft an Vorderachse

F_{sh} : Seitenkraft an Hinterachse

a_y : Querbeschleunigung

δ : Lenkwinkel



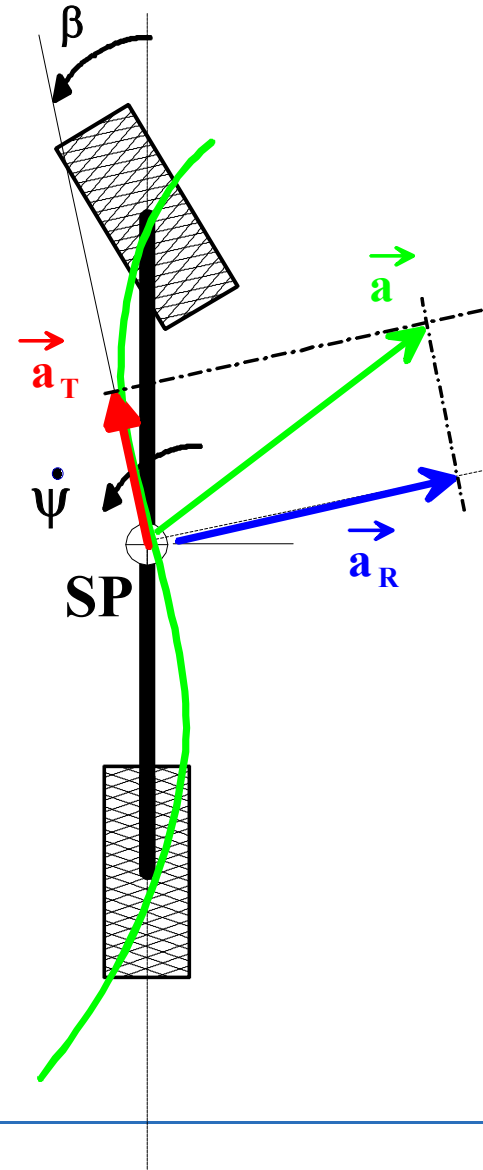
Allgemeine Zerlegung der Beschleunigung entlang einer Bahnkurve:

$$\vec{a} = \vec{a}_R + \vec{a}_T = \frac{v^2}{R} \cdot \vec{e}_R + \dot{v} \cdot \vec{e}_T$$

$$|\vec{a}_R| = a_R = \frac{v^2}{R}$$

$$|\vec{a}_T| = a_T = \dot{v}$$

- a : Bahnbeschleunigung
- a_T : Längsbeschleunigung
- a_R : Radialbeschleunigung
- \vec{e}_T : Längseinheitsvektor
- \vec{e}_R : Radialeinheitsvektor
- v : Längsgeschwindigkeit





Grundlagen

Bewegungsgrößen

Allgemein gilt:

$$\begin{aligned} v &= \psi + \beta \Rightarrow \dot{v} = \dot{\psi} + \dot{\beta} \\ a_R &= v \cdot \dot{v} \Rightarrow a_R = v \cdot (\dot{\psi} + \dot{\beta}) \end{aligned}$$

Spezialfall

Stationäre Kreisfahrt:

$$a_R = \frac{v^2}{R} \quad \text{mit} \quad v = \dot{\psi} \cdot R$$

v : Geschwindigkeit

\dot{v} : Längsbeschleunigung

R : Bahnradius

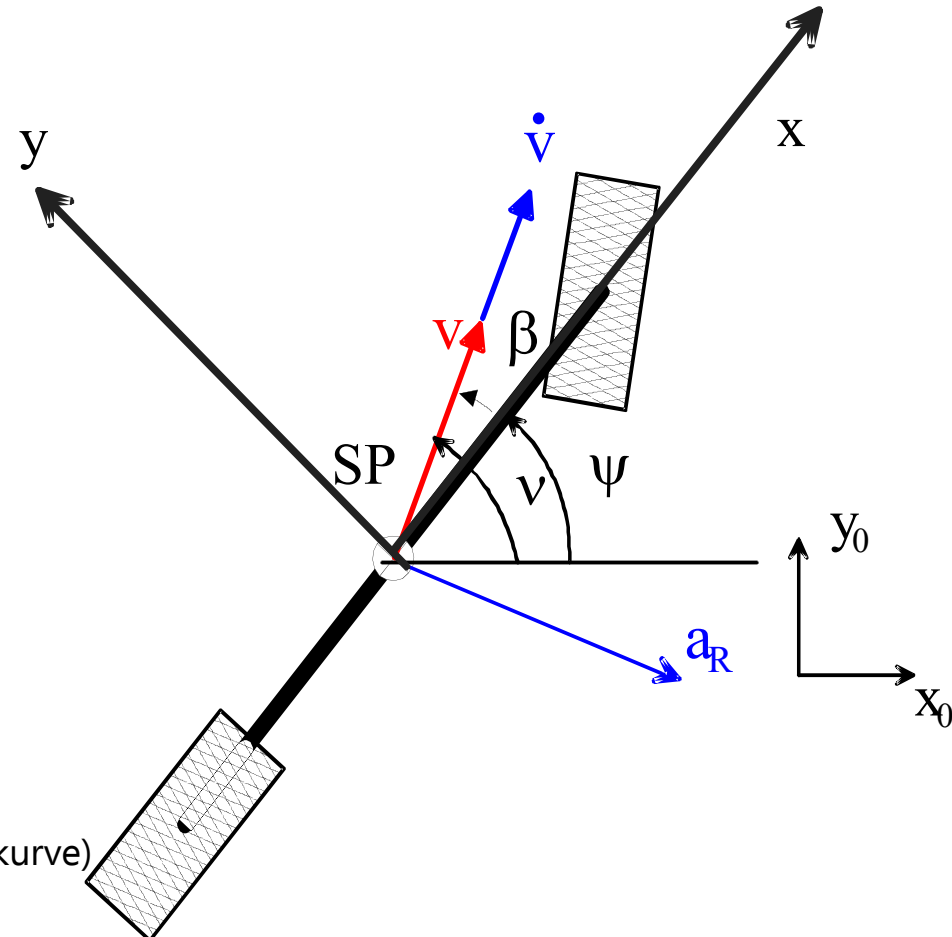
a_R : Radialbeschleunigung (senkrecht zur Bahnkurve)

β : Schwimmwinkel

ψ : Gierwinkel

v : Kurswinkel

$\dot{\psi}$: Giergeschwindigkeit

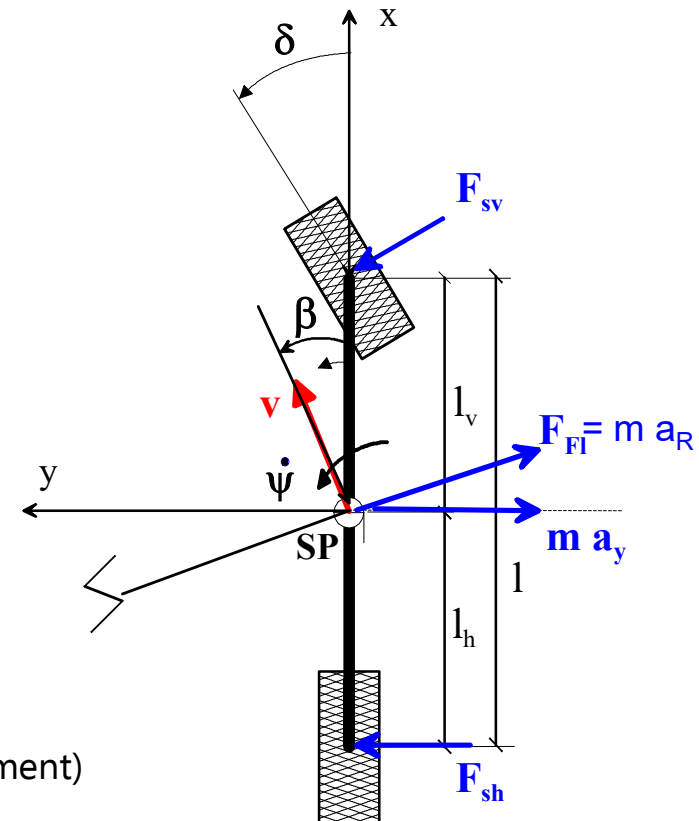


Kräfte- und Momentengleichgewicht für reine Querdynamik

$$\mathbf{m} \cdot \mathbf{a}_y = F_{sv} \cos \delta + F_{sh}$$
$$\theta \cdot \ddot{\psi} = F_{sv} \cdot \cos \delta \cdot l_v - F_{sh} \cdot l_h$$
$$\cos \delta \approx 1 \Rightarrow$$

$$\begin{aligned}\mathbf{m} \cdot \mathbf{a}_y &= \mathbf{F}_{sv} + \mathbf{F}_{sh} \\ \theta \cdot \ddot{\psi} &= \mathbf{F}_{sv} \cdot \mathbf{l}_v - \mathbf{F}_{sh} \cdot \mathbf{l}_h\end{aligned}$$

F_{Fl} : Fliehkraft


$$a_v = \cos\beta \cdot a_R$$

Hier gilt für die Tangential- und Querbewegung:

$$\begin{aligned} a_x &= a_T \cdot \cos\beta - a_R \cdot \sin\beta \\ a_y &= a_T \cdot \sin\beta + a_R \cdot \cos\beta \end{aligned} \quad \text{oder} \quad \begin{pmatrix} a_x \\ a_y \end{pmatrix} = \begin{pmatrix} \cos\beta & -\sin\beta \\ \sin\beta & \cos\beta \end{pmatrix} \cdot \begin{pmatrix} a_T \\ a_R \end{pmatrix}$$

Dies entspricht einer Koordinatentransformation vom Bahnkurvensystem ins Fahrzeugsystem.

- Kräfte Gleichgewicht in Fahrzeuglängsrichtung:

$$m \cdot a_x = F_{uh} + F_{uv} \cos\delta + F_{sv} \sin\delta$$

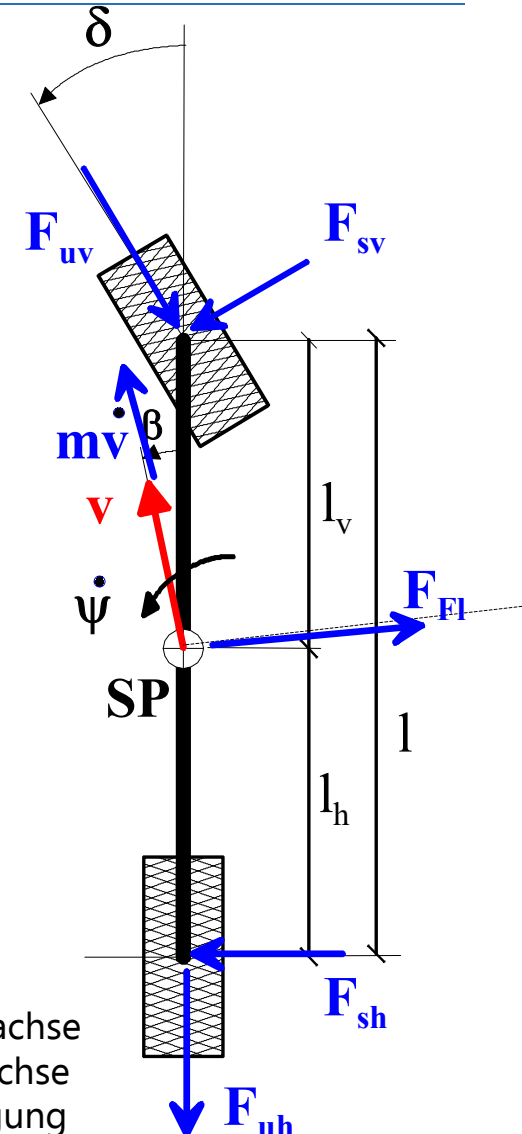
- Kräfte Gleichgewicht in Fahrzeugquerrichtung:

$$m \cdot a_y = F_{sh} - F_{uv} \sin\delta + F_{sv} \cos\delta$$

- Momentengleichgewicht um den Schwerpunkt:

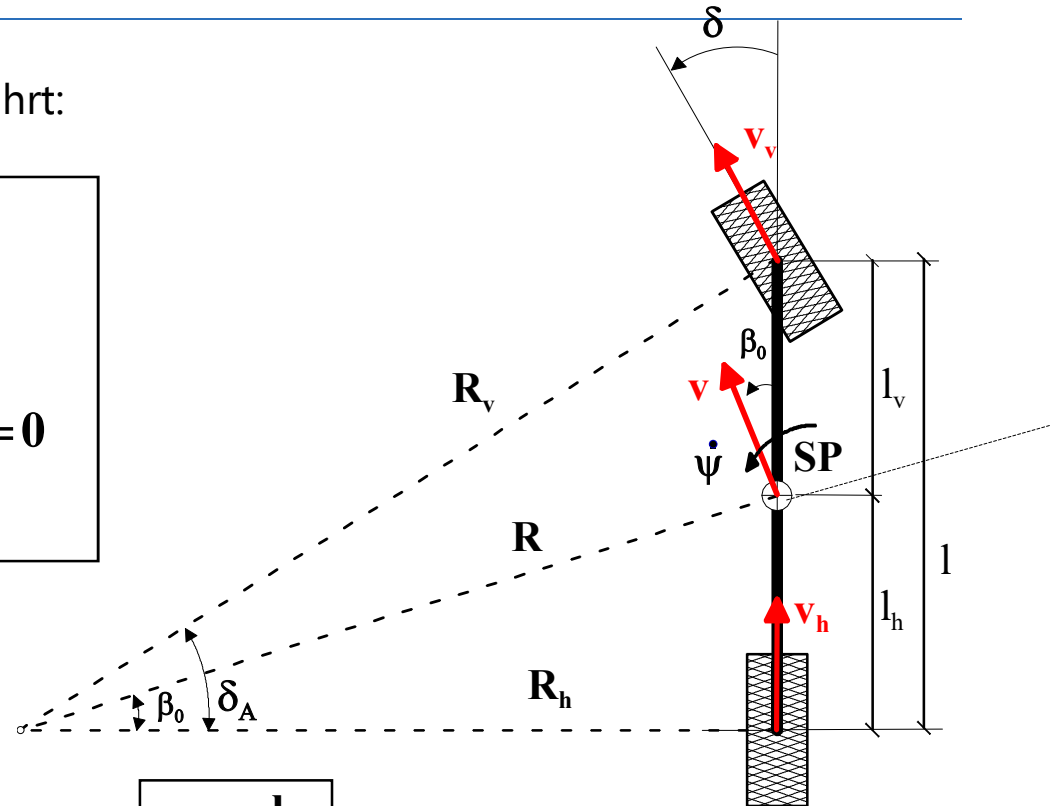
$$\Theta \cdot \ddot{\psi} = (F_{sv} \cos\delta - F_{uv} \sin\delta) \cdot l_v - F_{sh} \cdot l_h$$

F_{uv} : Umfangskraft an Vorderachse
 F_{uh} : Umfangskraft an Hinterachse
 \dot{v} : Schwerpunktbeschleunigung



Voraussetzungen für eine stationäre Kreisfahrt:

$v = \text{konst.}$	\rightarrow	$\dot{v} = 0$
$\beta = \beta_0 = \text{konst.}$	\rightarrow	$\dot{\beta} = 0$
$\dot{\psi} = \frac{v}{R} = \text{konst.}$	\rightarrow	$\ddot{\psi} = \frac{\dot{v}}{R} = 0$
$R = \text{konst.}$		



Für die langsame, stationäre Kreisfahrt gilt:

Ackermannwinkel: $\tan \delta_A = \frac{l}{\sqrt{R^2 - l_h^2}} \approx \frac{l}{R} \Rightarrow \delta_A \approx \frac{l}{R}$

Schwimmwinkel: $\tan \beta_0 = \frac{l_h}{\sqrt{R^2 - l_h^2}} \approx \frac{l_h}{R} \Rightarrow \beta_0 \approx \frac{l_h}{R}$

Wie entstehen Seitenkräfte zwischen Fahrbahn und Straße?

F_s : Seitenkraft
 C_s : Reifensteifigkeit
 α : Schräglaufwinkel
 v_r : Geschwindigkeit im Radaufstandspunkt

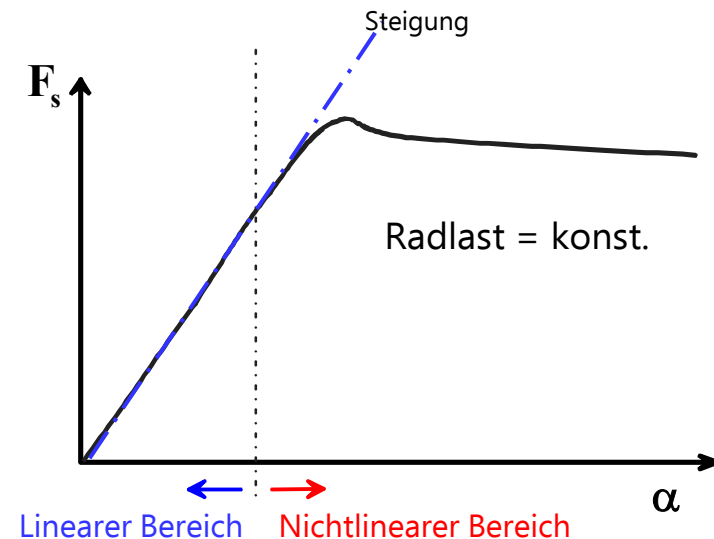
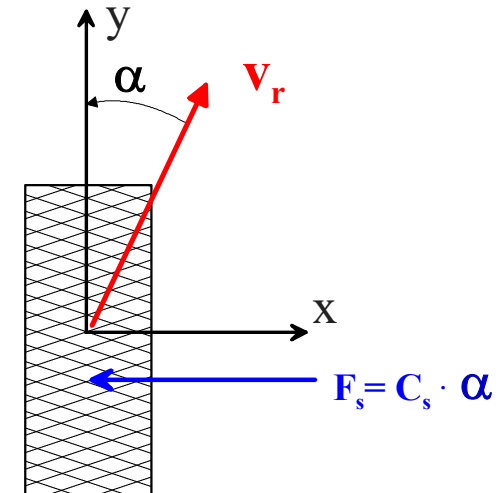
Seitenkräfte nach dem linearem Modell:

$$\begin{aligned} F_{sv} &= C_{sv} \cdot \alpha_v \\ F_{sh} &= C_{sh} \cdot \alpha_h \end{aligned}$$

C_{sv} : Reifensteifigkeit an Vorderachse
 C_{sh} : Reifensteifigkeit an Hinterachse
 α_v : Schräglaufwinkel an Vorderachse
 α_h : Schräglaufwinkel an Hinterachse

„Reifensteifigkeit“ im englischen: *cornering stiffness*

→ das Fahrzeug stellt sich so zum Bahnverlauf, das Seitenkräfte entstehen können



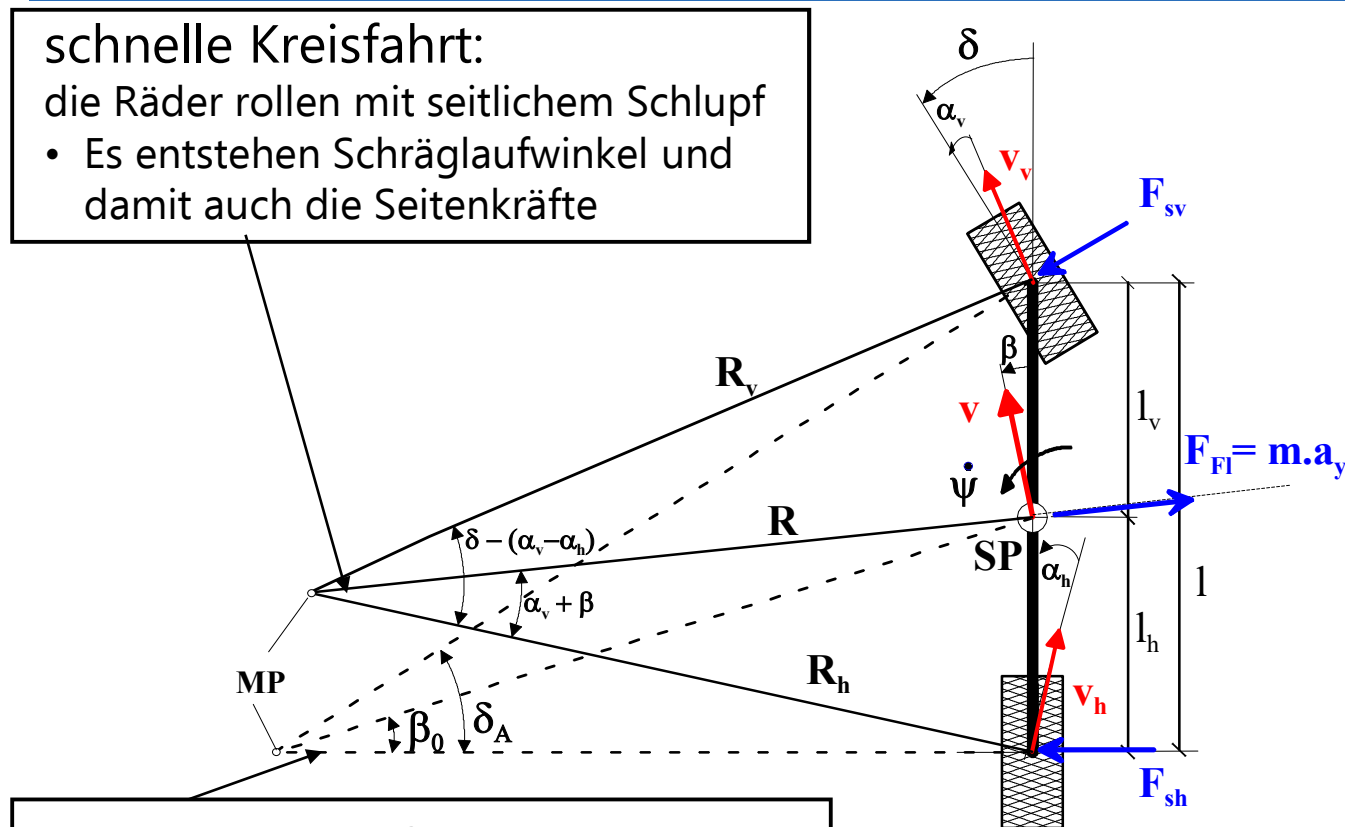


Grundlagen

Einspur-Fahrzeugmodell bei Kreisfahrt

schnelle Kreisfahrt:

- die Räder rollen mit seitlichem Schlupf
- Es entstehen Schräglaufwinkel und damit auch die Seitenkräfte



langsame Kreisfahrt:

- die Räder rollen ohne seitlichem Schlupf
- keine Schräglaufwinkel und damit auch keine Seitenkräfte

- β_0 : Schwimmwinkel beim schlupffreien Rollen
 MP: Momentanpol
 R_v : Abstand der Vorderachse vom Momentanpol
 R_h : Abstand der Hinterachse vom Momentanpol
 δ_A : Ackermannwinkel



Grundlagen Schräglaufwinkel aus Momentenbilanz

Die effektive Achssteifigkeit wird durch Reifen sowie Kinematik und Elastokinematik bestimmt. Analog zum Reifen gilt:

$$\begin{aligned} F_{sv} &= C_v \cdot \alpha_v \\ F_{sh} &= C_h \cdot \alpha_h \end{aligned}$$

C_v : Steifigkeit an der Vorderachse

C_h : Steifigkeit an Hinterachse

Aus der Momentenbilanz in Querrichtung folgt:

$$F_{sv} \cdot l = C_v \cdot \alpha_v \cdot l = l_h \cdot m \cdot a_y$$

$$F_{sh} \cdot l = C_h \cdot \alpha_h \cdot l = l_v \cdot m \cdot a_y$$



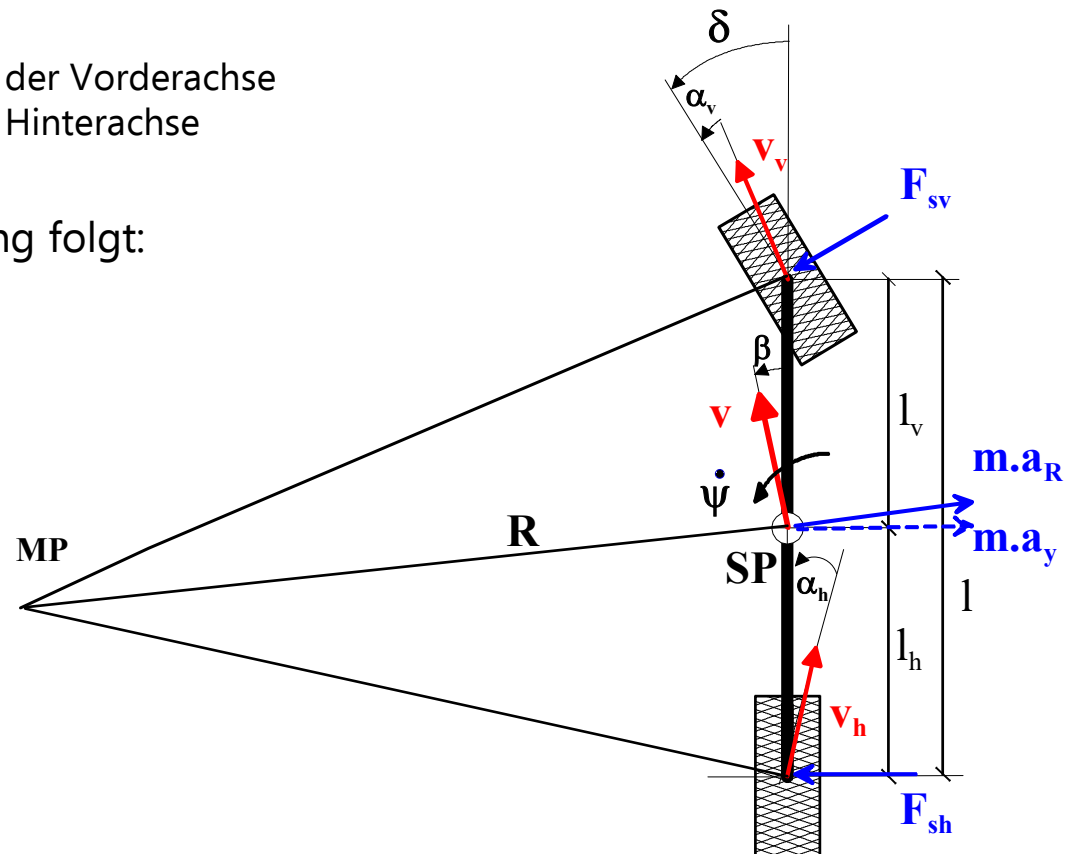
$$\Delta\alpha = \alpha_v - \alpha_h = \frac{m}{l} \cdot \left(\frac{l_h}{C_v} - \frac{l_v}{C_h} \right) \cdot a_y$$

Definition des Steuerverhaltens:

$\Delta\alpha > 0 \Rightarrow$ untersteuerndes Fahrzeug

$\Delta\alpha = 0 \Rightarrow$ neutrales Fahrzeug

$\Delta\alpha < 0 \Rightarrow$ übersteuerndes Fahrzeug





Grundlagen

Geschwindigkeiten an Vorder- und Hinterachse

Geschwindigkeiten an der Vorderachse:

$$\vec{v} + \dot{\psi} \times \vec{l}_v = \vec{v}_v$$

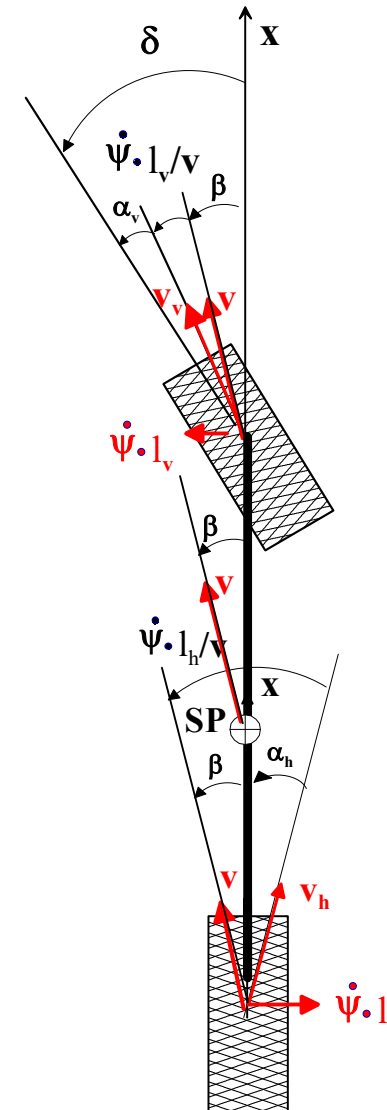
Geschwindigkeiten an der Hinterachse:

$$\vec{v} + \dot{\psi} \times \vec{l}_h = \vec{v}_h$$

\vec{v} : Fahrgeschwindigkeit
 $\dot{\psi} \times \vec{l}_v$: Geschwindigkeiten aus der Fahrzeugdrehung
 \vec{v}_v, \vec{v}_h : resultierende Geschwindigkeiten an der Vorder- und Hinterachse

$$\alpha_v = \delta - \beta - \frac{\dot{\psi} \cdot l_v}{v}$$

$$\alpha_h = -\beta + \frac{\dot{\psi} \cdot l_h}{v}$$

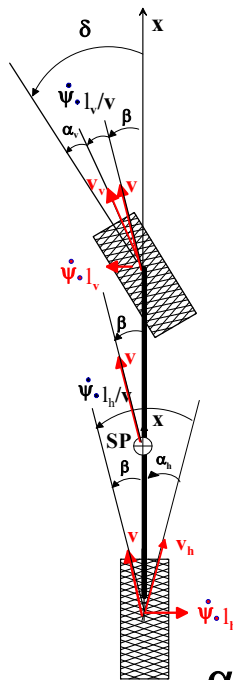




Grundlagen

Eigenlenkverhalten nach „Bergman“

Kinematische Beziehungen



$$\alpha_v = \delta - \beta - \frac{\dot{\psi} \cdot l_v}{v}$$

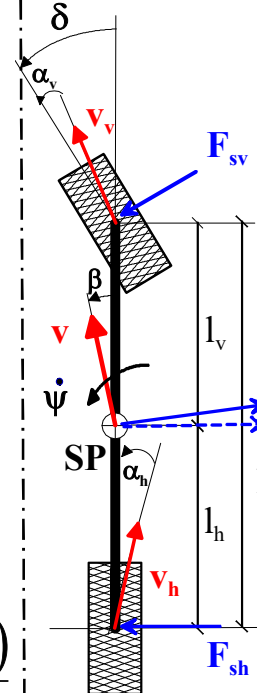
$$\alpha_h = -\beta + \frac{\dot{\psi} \cdot l_h}{v}$$

$$\alpha_v - \alpha_h = \delta - \frac{\dot{\psi} \cdot (l_v + l_h)}{v}$$

$$\Delta\alpha = \alpha_v - \alpha_h = \delta - \frac{l}{R}$$

$$\Rightarrow \delta = \delta_A + \frac{m}{l} \cdot \left(\frac{l_h}{C_v} - \frac{l_v}{C_h} \right) \cdot a_y$$

Momentenbilanz in Querrichtung



$$\alpha_v = \frac{l_h \cdot m \cdot a_y}{C_v \cdot l}$$

$$\alpha_h = \frac{l_v \cdot m \cdot a_y}{C_h \cdot l}$$

mit

$$\begin{aligned} F_{sv} &= C_v \cdot \alpha_v \\ F_{sh} &= C_h \cdot \alpha_h \end{aligned}$$

$$\Delta\alpha = \alpha_v - \alpha_h = \frac{m}{l} \cdot \left(\frac{l_h}{C_v} - \frac{l_v}{C_h} \right) \cdot a_y$$

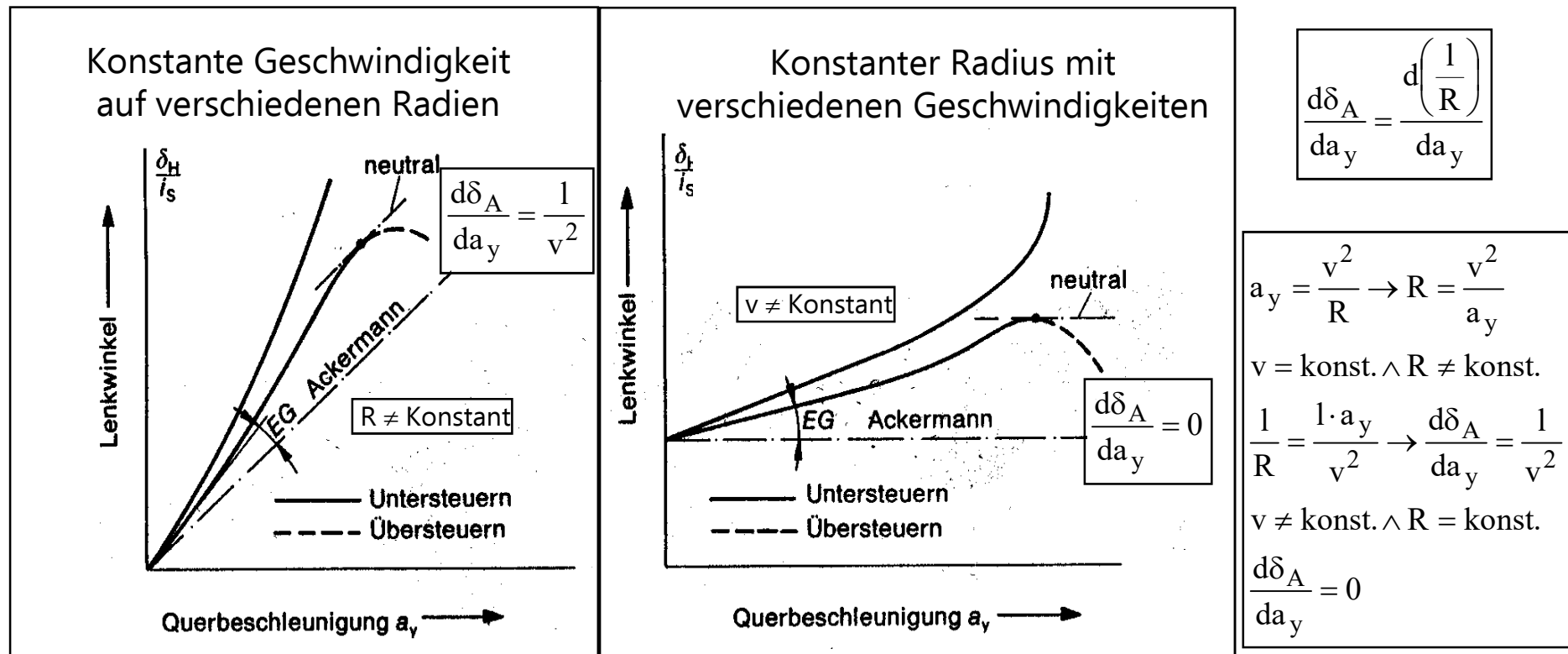
$$\Rightarrow \frac{d\delta}{da_y} = \frac{d\delta_A}{da_y} + \frac{m}{l} \cdot \left(\frac{l_h}{C_v} - \frac{l_v}{C_h} \right)$$



Grundlagen

Verschiedene stationäre Kreisfahrt

Fahrmanöver: stationäre Kreisfahrt mit konstantem Bahnradius und konstanter Geschwindigkeit



Der Eigenlenkgradient ist die Differenz zwischen der Steigung der Lenkradwinkelkurve und der Ackermanngeraden über der Querbeschleunigung



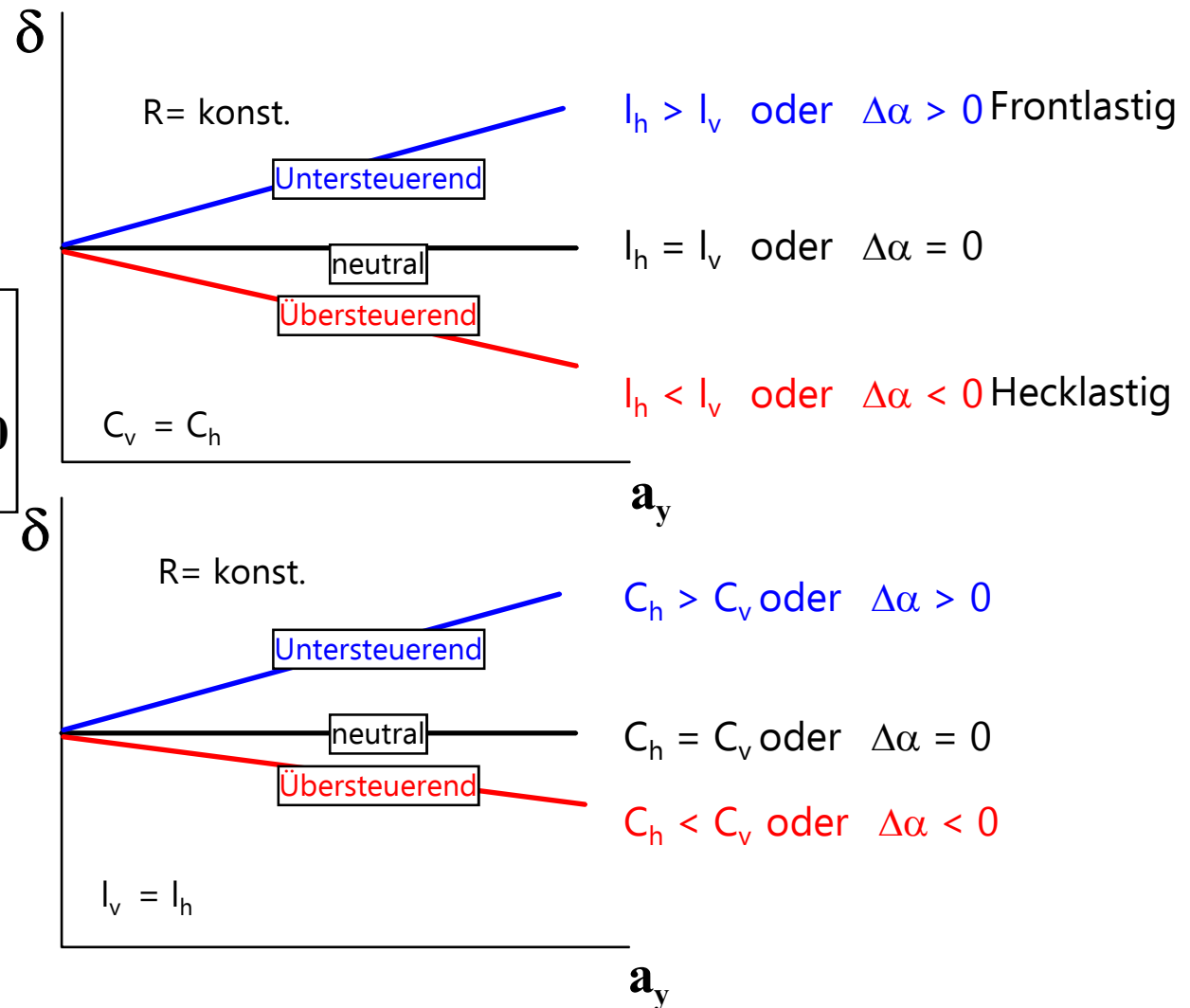
Grundlagen

Eigenlenkverhalten nach „Olley“

$$\Delta\alpha = \alpha_v - \alpha_h$$

$$= \frac{m}{l} \cdot \left(\frac{l_h}{C_v} - \frac{l_v}{C_h} \right) \cdot a_y \wedge a_y > 0$$

Unterschiedliche Achssteifigkeiten werden meistens nicht durch Mischbereifungen realisiert, sondern durch die Auslegung der Achsen.



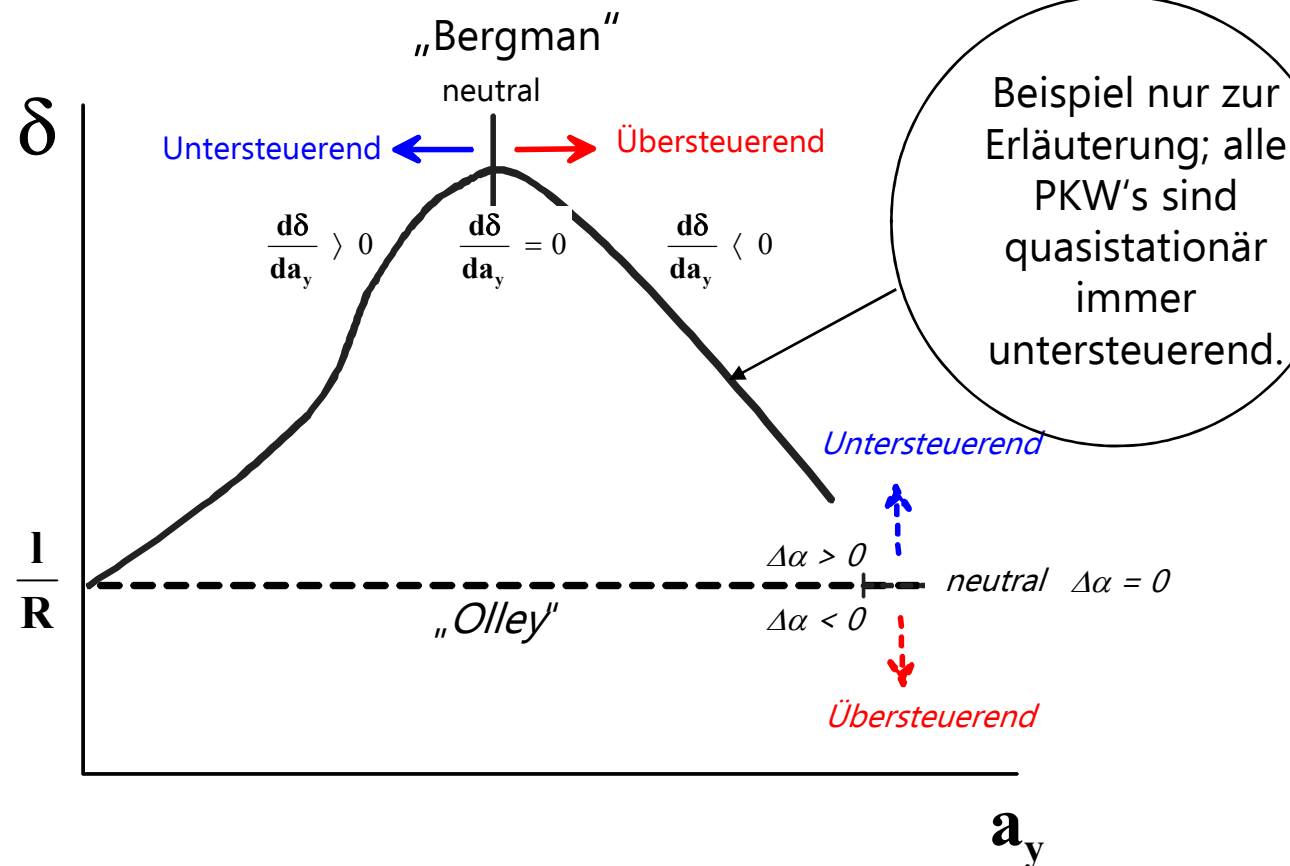
„Bergman“

$$R = \text{konst.} \quad \mathbf{EG} = \frac{d\delta}{da_y} = \frac{m}{l} \cdot \left(\frac{l_h}{C_v} - \frac{l_v}{C_h} \right)$$

„Olley“

$$\Delta\alpha = \frac{m}{l} \cdot \left(\frac{l_h}{C_v} - \frac{l_v}{C_h} \right) \cdot a_y$$

Im linearen Bereich sind beide Definitionen identisch. Erst bei Nichtlinearitäten treten Unterschiede auf. Die Definition von Bergman wird bevorzugt. Die Definition von Olley hat den Nachteil, dass die Schräglaufwinkeldifferenz für Rechts- und Linkskreis entgegengesetztes Vorzeichen hat (die Querbeschleunigung a_y ist mit einem Vorzeichen behaftet).





Grundlagen Schwimmwinkel am Einspurmodell

$$\left. \begin{array}{l} l_x = R_h \cdot \sin(\alpha_h + \beta) \\ l_x = l_h \cdot \cos \beta \end{array} \right\} \Rightarrow \frac{l_h}{R_h} = \frac{\sin(\alpha_h + \beta)}{\cos \beta}$$

$$\Rightarrow \frac{l_h}{R_h} = \frac{\sin \alpha_h \cdot \cos \beta + \sin \beta \cdot \cos \alpha_h}{\cos \beta}$$

$$= \sin \alpha_h + \cos \alpha_h \cdot \tan \beta$$

Für kleine Winkel gilt: $\frac{l_h}{R_h} = \alpha_h + \beta$ und $R_h = R$

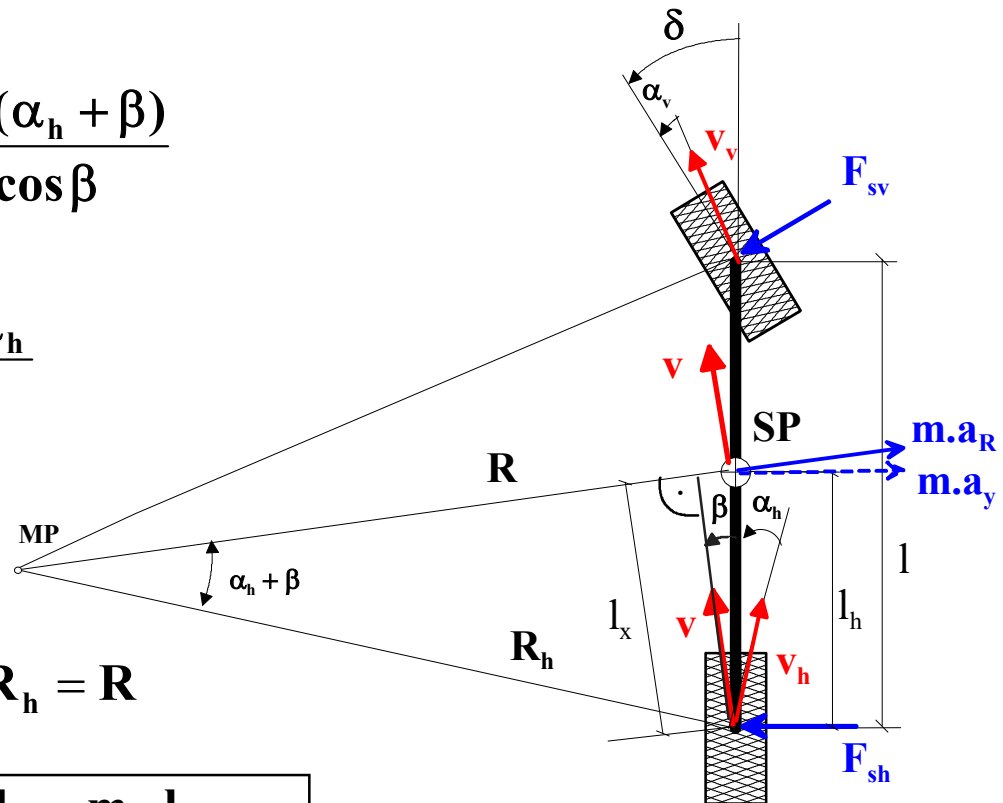
mit $\alpha_h = \frac{1}{C_h} \cdot \frac{l_v}{l} \cdot m \cdot a_y$

\Rightarrow

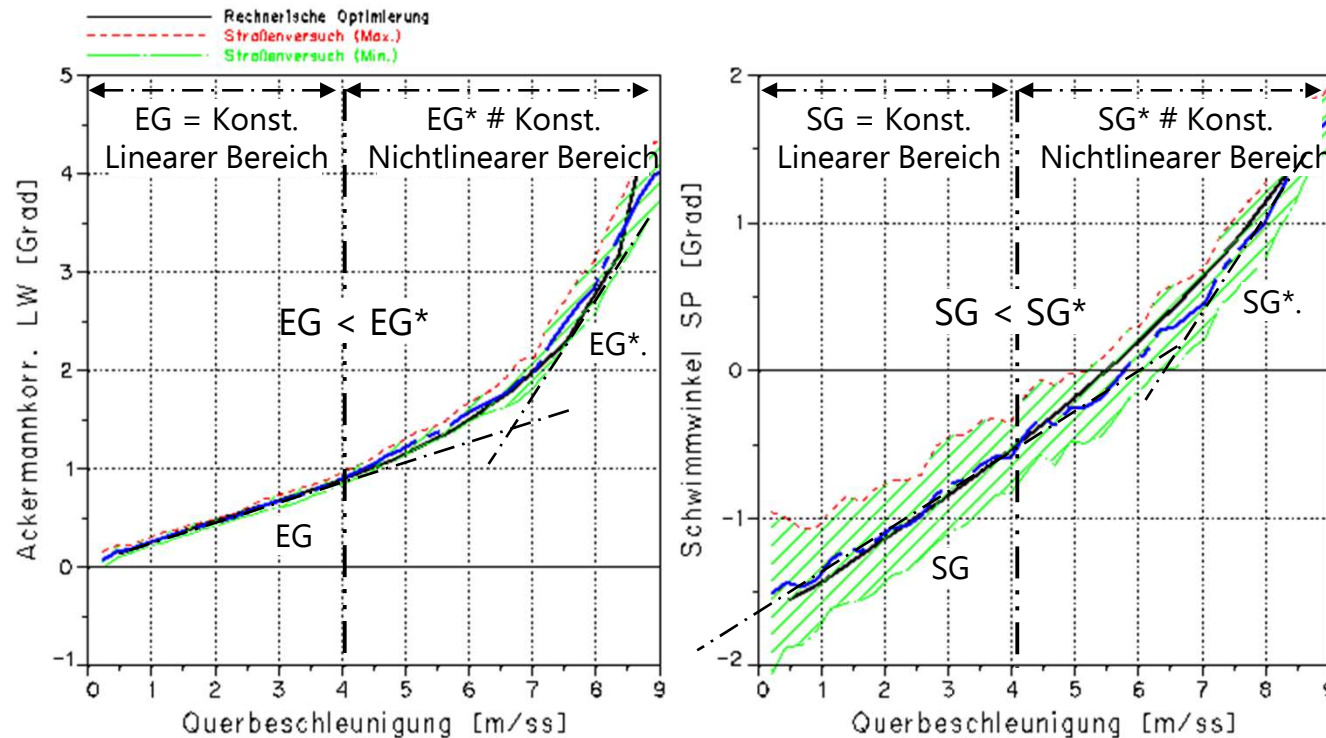
$$\beta = \frac{l_h}{R} - \frac{m}{C_h} \cdot \frac{l_v}{l} \cdot a_y$$

Schwimmwinkelgradient:

$$SG = \frac{d\beta}{da_y} = \frac{m}{C_h} \cdot \frac{l_v}{l}$$



Fahrmanöver: stationärer Kreisfahrt mit konstantem Bahnradius



Der Eigenlenkgradient ist die Differenz zwischen der Steigung der Lenkradwinkelkurve und der Ackermanngeraden über der Querbeschleunigung

Gegeben seien: m , I , I_v dann sind folgende Wertepaare im linearen Einspurmodell äquivalent:

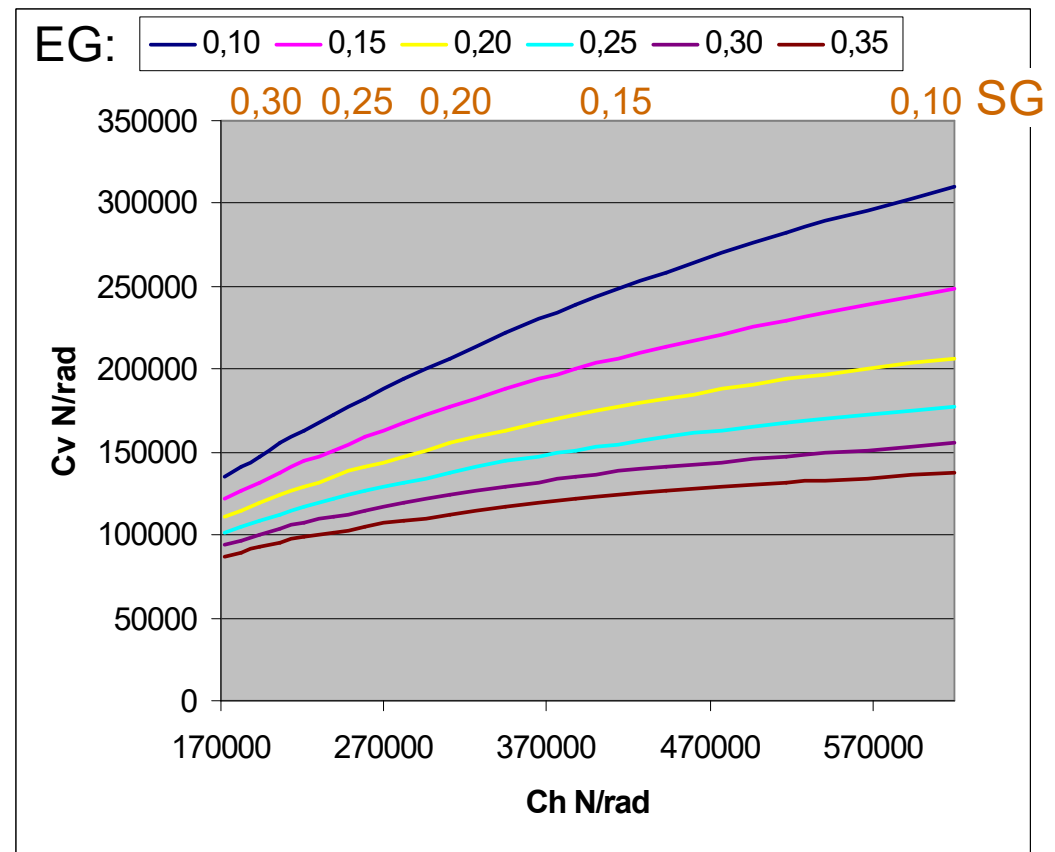
$$\mathbf{EG} = \frac{d\delta}{da_y} = \frac{m}{I} \cdot \left(\frac{I_h}{C_v} - \frac{I_v}{C_h} \right)$$

$$\mathbf{SG} = \frac{d\beta}{da_y} = \frac{m}{C_h} \cdot \frac{I_v}{I}$$

C_v und C_h
(Komponenten-Sicht)

&

EG und SG
(fahrdynamische Sicht)





Im linearen Bereich gilt bei einer Kreisfahrt mit konstantem Radius folgende Definition der Eigenlenkgradienten EG:

$$\mathbf{EG} = \frac{d\delta}{da_y} = \frac{m}{I} \cdot \left(\frac{l_h}{C_v} - \frac{l_v}{C_h} \right)$$

Für die Seitenkraft F_{sv} bzw. F_{sh} gilt:

$$F_{sv} = m_v \cdot a_y = \frac{l_h}{I} \cdot m \cdot a_y$$
$$F_{sh} = m_h \cdot a_y = \frac{l_v}{I} \cdot m \cdot a_y$$

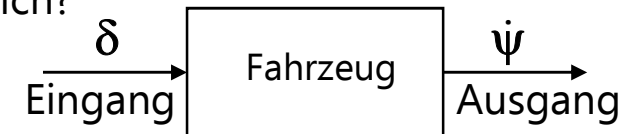
Damit gilt für den EG:

$$\mathbf{EG} = \left(\frac{F_{sv}}{C_v} - \frac{F_{sh}}{C_h} \right) \cdot \frac{1}{a_y} = (\alpha_v - \alpha_h) \cdot \frac{1}{a_y}$$

Für Fahrzeuge mit Standardantrieb wird an Vorder- und Hinterachse die gleiche Achslast angestrebt. Ein untersteuerndes Fahrverhalten kann dann nur durch eine geringere Steifigkeit C_v des „effektiven Reifens“ an der Vorderachse relativ zur Steifigkeit C_h erzielt werden. Bei Gleichbereifung wird dies durch eine gezielte, konstruktive Auslegung der Achssteifigkeiten erreicht. In den 50er Jahren wurde die Untersteuertendenz durch den Einfluss der Sturzseitenkraft erzielt, d.h. an der Vorderachse hat der Reifensturz die Seitenkraft verringert und damit die Untersteuertendenz erzeugt. Bei den heutigen Breitreifen wird dieser Mechanismus nicht mehr verwendet.

Gierverstärkung:

Mit welcher Giergeschwindigkeit reagiert ein Fahrzeug auf einen Lenkwinkel (entweder bezogen auf das Rad oder auf das Lenkrad) im quasistationären Bereich?



Gierverstärkung: $\frac{\dot{\psi}}{\delta}$

Mit Hilfe:

$$\delta = \frac{l}{R} + \frac{m}{l} \cdot \left(\frac{l_h}{C_v} - \frac{l_v}{C_h} \right) \cdot a_y$$

$$a_y = v \cdot \dot{\psi}, \quad \dot{\psi} = \frac{v}{R} \quad \text{und} \quad \beta \approx 0 \quad \Rightarrow$$

$$\left(\frac{\dot{\psi}}{\delta} \right)_{\text{stat}} = \frac{v}{l + \frac{m}{l} \cdot \left(\frac{l_h}{C_v} - \frac{l_v}{C_h} \right) \cdot v^2} = \frac{v}{1 + \mathbf{EG} \cdot v^2}$$

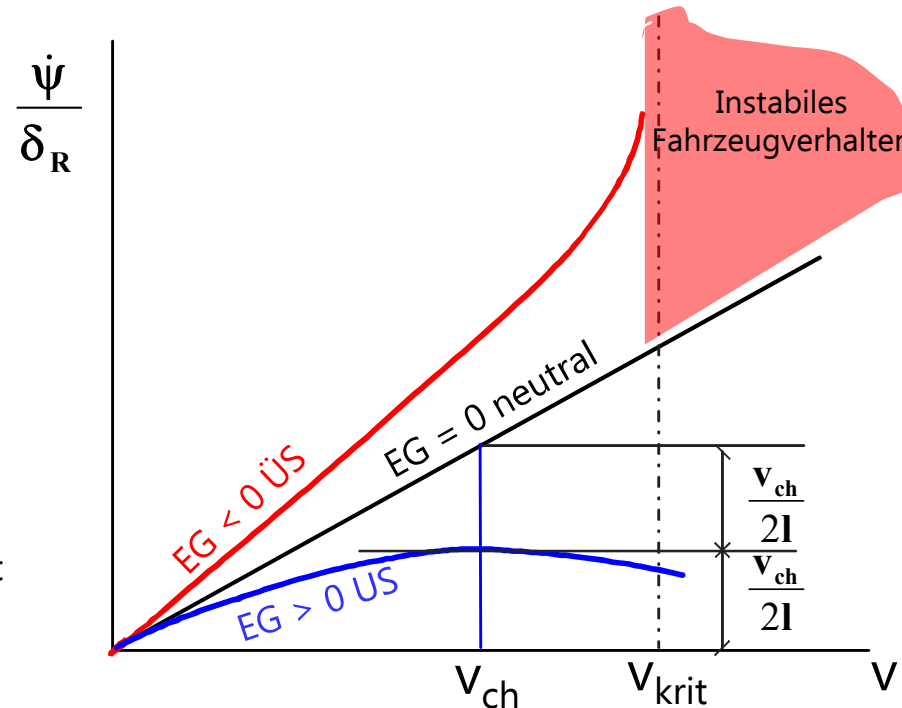
Manöver zur Durchführung im Zeitbereich:

Bei konstanter Fahrgeschwindigkeit wird das Lenkrad sinusförmig mit einer Frequenz unterhalb von 0,2 Hz eingeschlagen. Die Lenkradamplitude wird so gewählt, dass eine maximale Querschleunigung um 3 m/s² auftritt. Beginnend bei 20 km/h wird das Manöver jeweils mit einer um 10 km/h höheren Geschwindigkeit wiederholt. Ausgewertet werden die Amplituden von Lenkwinkel und Giergeschwindigkeit.

Gierverstärkung:

$$\left(\frac{\dot{\psi}}{\delta} \right)_{\text{stat}} = \frac{v}{1 + \mathbf{EG} \cdot v^2}$$

v_{ch} : charakteristische Geschwindigkeit
 v_{krit} : kritische Geschwindigkeit
 US : untersteuerndes Fahrzeug
 ÜS : übersteuerndes Fahrzeug



- ÜS-Kurve: strebt bei v_{krit} gegen ∞
- US-Kurve: erreicht bei v_{ch} ein Maximum
- Neutral-Kurve: ergibt eine Gerade mit der Steigung $1/l$



Grundlagen

Ermittlung der charakteristischen und kritischen Geschwindigkeit

- Für untersteuerndes Fahrzeug ($EG > 0$): Ableitung der Gierverstärkung gleich Null $\rightarrow v_{ch}$

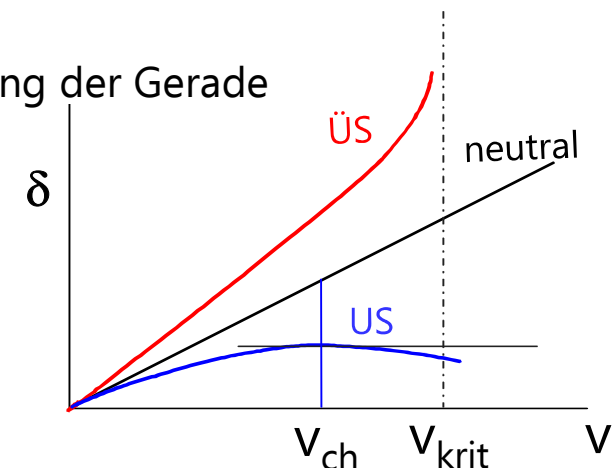
$$\frac{d\left(\frac{\dot{\psi}}{\delta}\right)}{dv} = 0 \Rightarrow \frac{1 - EG \cdot v_{ch}^2}{(1 + EG \cdot v_{ch}^2)^2} = 0 \Rightarrow \boxed{v_{ch}^2 = \frac{1}{EG}}$$

- Für übersteuerndes Fahrzeug ($EG < 0$): Nenner der Gierverstärkung gleich Null $\rightarrow v_{krit}$

$$1 + EG \cdot v_{krit}^2 = 0 \Rightarrow \boxed{v_{krit}^2 = -\frac{1}{EG}}$$

- Für neutrales Fahrzeug ($EG = 0$): EG gleich Null \rightarrow Gleichung der Gerade

$$EG = 0 \Rightarrow \boxed{\left(\frac{\dot{\psi}}{\delta}\right)_{stat} = \frac{v}{l}}$$

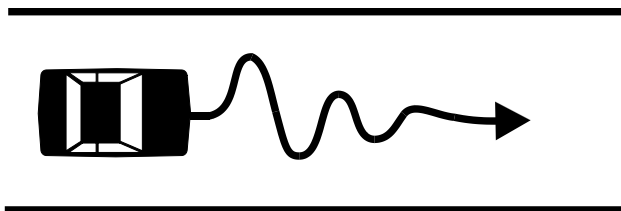


2) Lenkungspendeln

Manöver: Anreissen aus Geradeausfahrt:

Bei diesem Manöver wird geradeaus gefahren, plötzlich das Lenkrad auf einen bestimmten Winkel angerissen und losgelassen.

Das Rücklaufverhalten der Lenkung wird nach Amplitude und Dämpfung beurteilt.

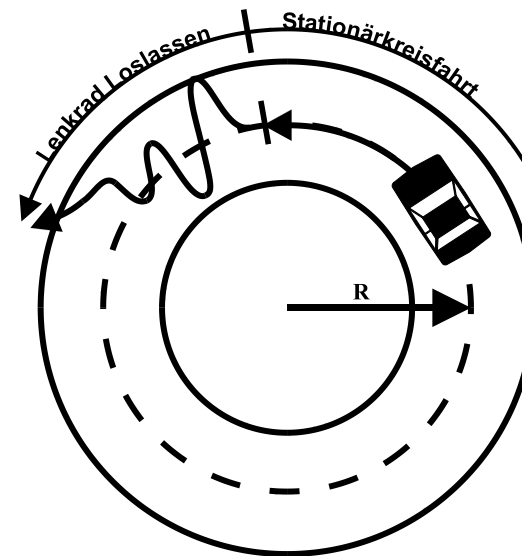


Geradeausfahrt | Anreissen und loslassen

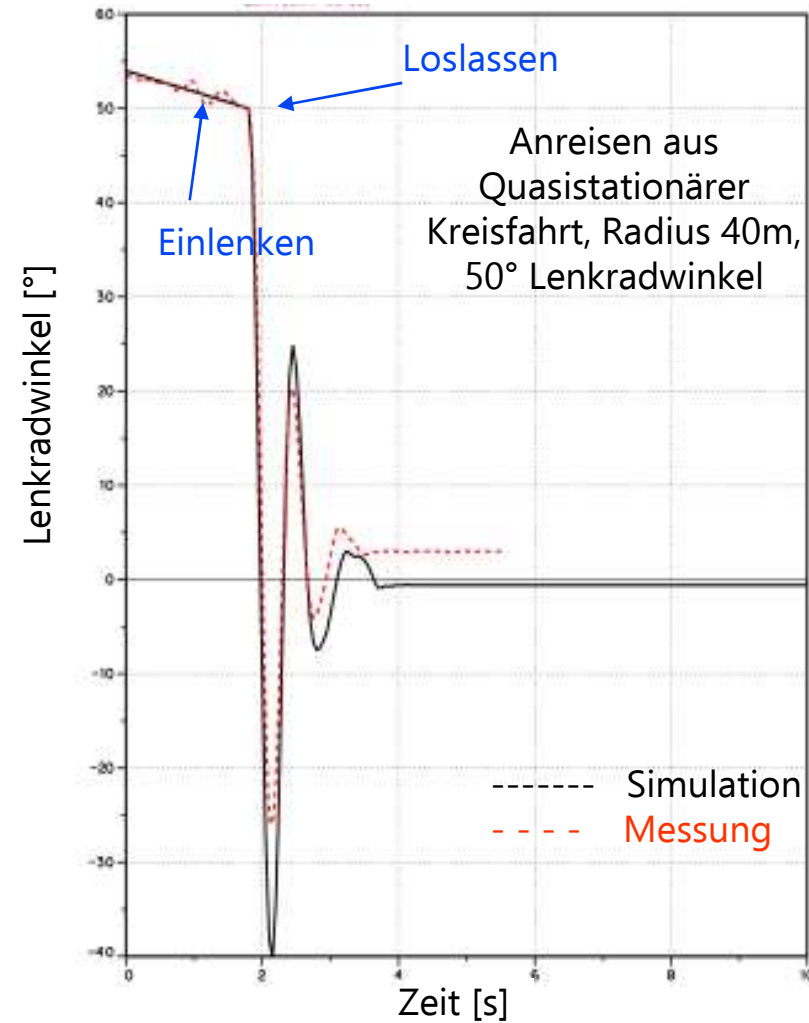
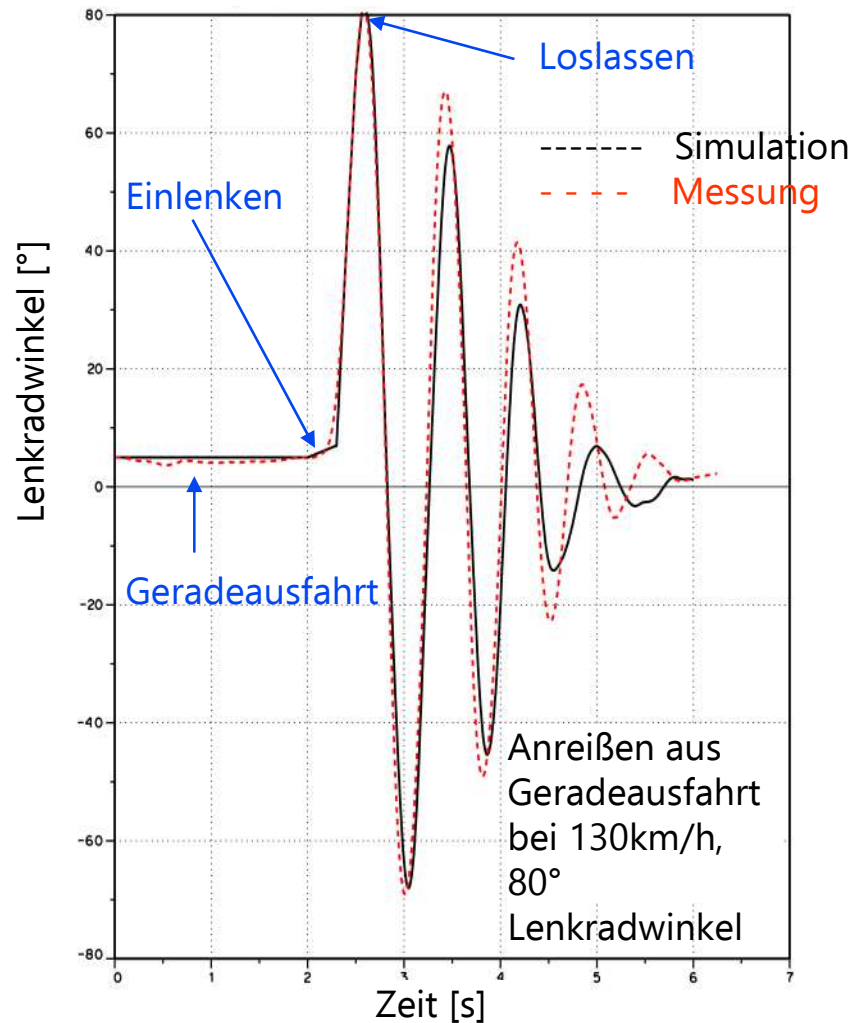
Manöver: Loslassen aus stationärer Kreisfahrt:

Bei diesem Manöver wird aus stationärer Kreisfahrt das Lenkrad plötzlich losgelassen.

Das Rücklaufverhalten der Lenkung wird nach Amplitude und Dämpfung beurteilt.



2) Lenkungspendeln



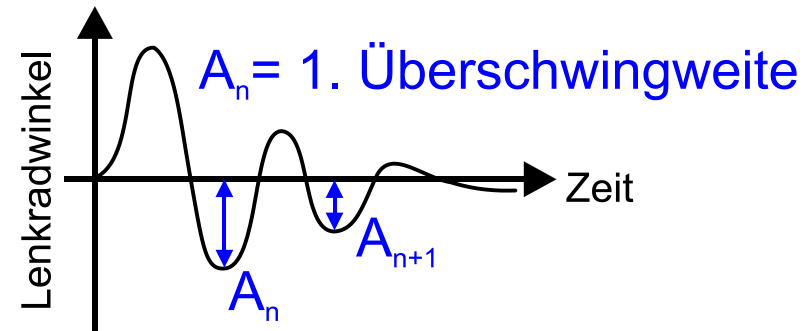
2) Lenkungspendeln

Kenngößen zur Bewertung:

1. Erste Überschwingweite des Lenkradwinkels über der Zeit.

2. Dämpfungsmaß D

=> beide Größen sind ein Maß für das Abklingen der Schwingung



Logarithmisches Dekrement

$$\Lambda = \log(A_n/A_{n+1})$$

Dämpfungsmaß

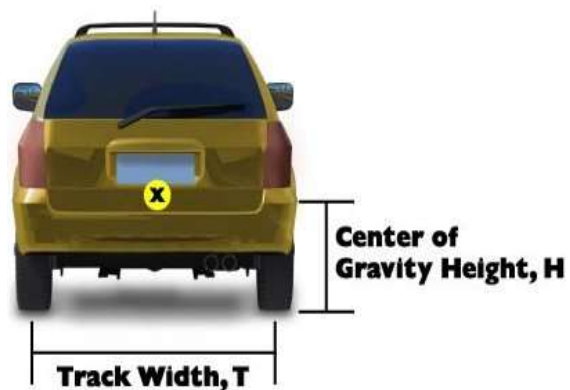
$$D = \frac{\Lambda}{\sqrt{4\pi^2 + \Lambda^2}}$$



Manöverkatalog

Road edge recovery

Road Edge Recovery Manöver der amerikanischen Verkehrsbehörde zur Beurteilung der „Roll Over“ Wahrscheinlichkeit



Static Stability
Factor:

$$SSF = \frac{T/2}{H}$$





Manöverkatalog Spezial-Manöver

vehicle and trailer stability (ISO 9815)
driving over a curb
.....

Hil simulation
trailer stability



1) Seitenwindempfindlichkeit

Aufgabenstellung

Spezielle Problematik:

Kombination von Führungs-/Störverhalten und
Fahrereinfluss (Subjektivurteil)



Betrachtung von Open- und Closed-Loop-Manövern

Themen:

- Vorbeifahrt an Seitenwindgebläse
- natürlicher Seitenwind

1) Seitenwindempfindlichkeit

Regressionsgleichung

Subjektivurteil
Seitenwindfahrt 200
km/h (closed loop)

$$y = K_1 \dot{\psi}_{\max} + K_2 \cdot t_{\text{resp.}, \psi} + K_3 \left(\frac{\dot{\psi}}{\delta_{\text{LR}}} + K_4 \right)^2 + K_5$$

max. Giergeschwindigkeit
bei Seitenwindfahrt
(open loop)

(I)

90%-Ansprechzeit
Lenkwinkelsprung
(open loop)

(II)

Gierverstärkung
Weave-Manöver
(open loop)

(III)

Verwendete Manöver

(I) Vorbeifahrt an Seitenwindgebläse:

- Fahrzeuggeschwindigkeit 140 km/h
- Lenkwinkel 0°

(II) Lenkwinkelsprung:

- Fahrzeuggeschwindigkeit 80 km/h
- Lenkradgeschwindigkeit > 400 °/s
- maximaler Lenkwinkel 60°

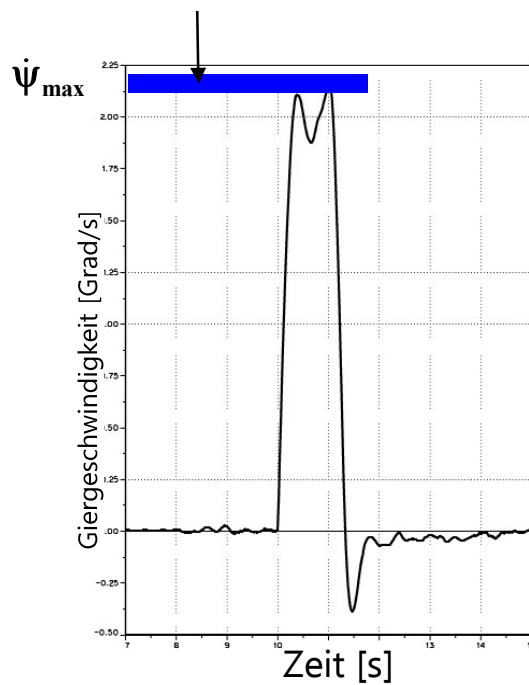
(III) Weave Manöver:

- Fahrzeuggeschwindigkeit 100 km/h
- Sinus des Lenkwinkels mit 0,2 Hz

1) Seitenwindempfindlichkeit

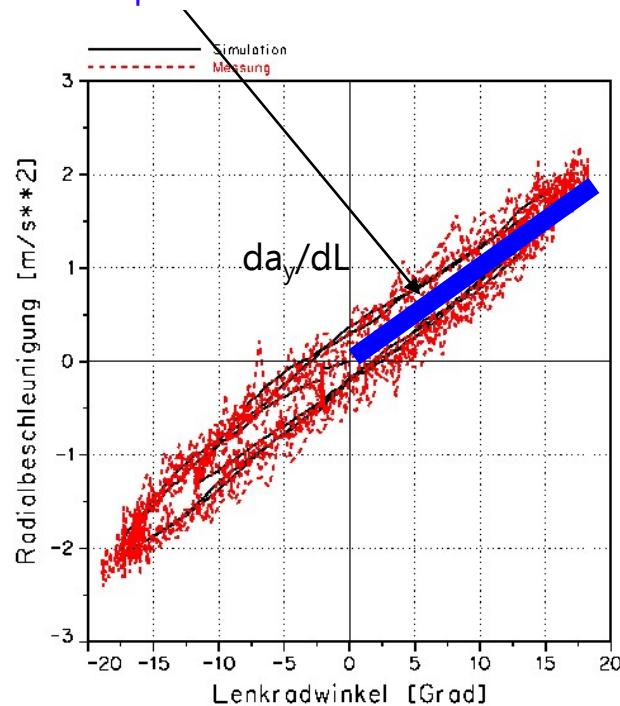
Vorbeifahrt an Seitenwindgebläse

Max. Giergeschwindigkeit



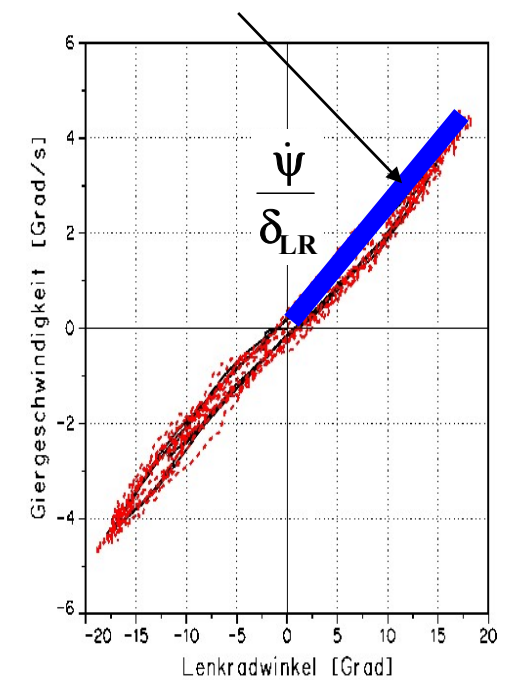
Weave Manöver

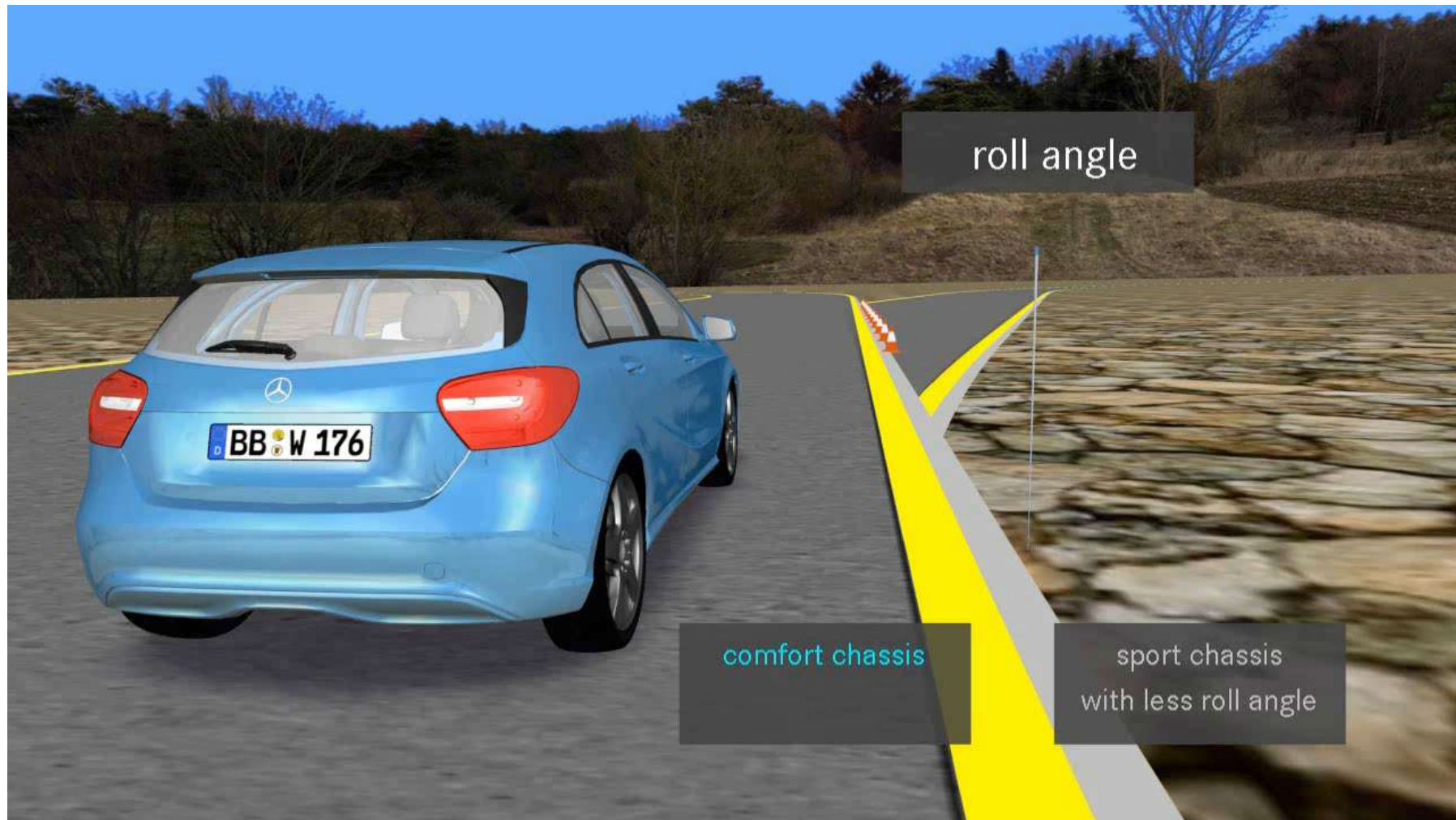
Ansprechverhalten



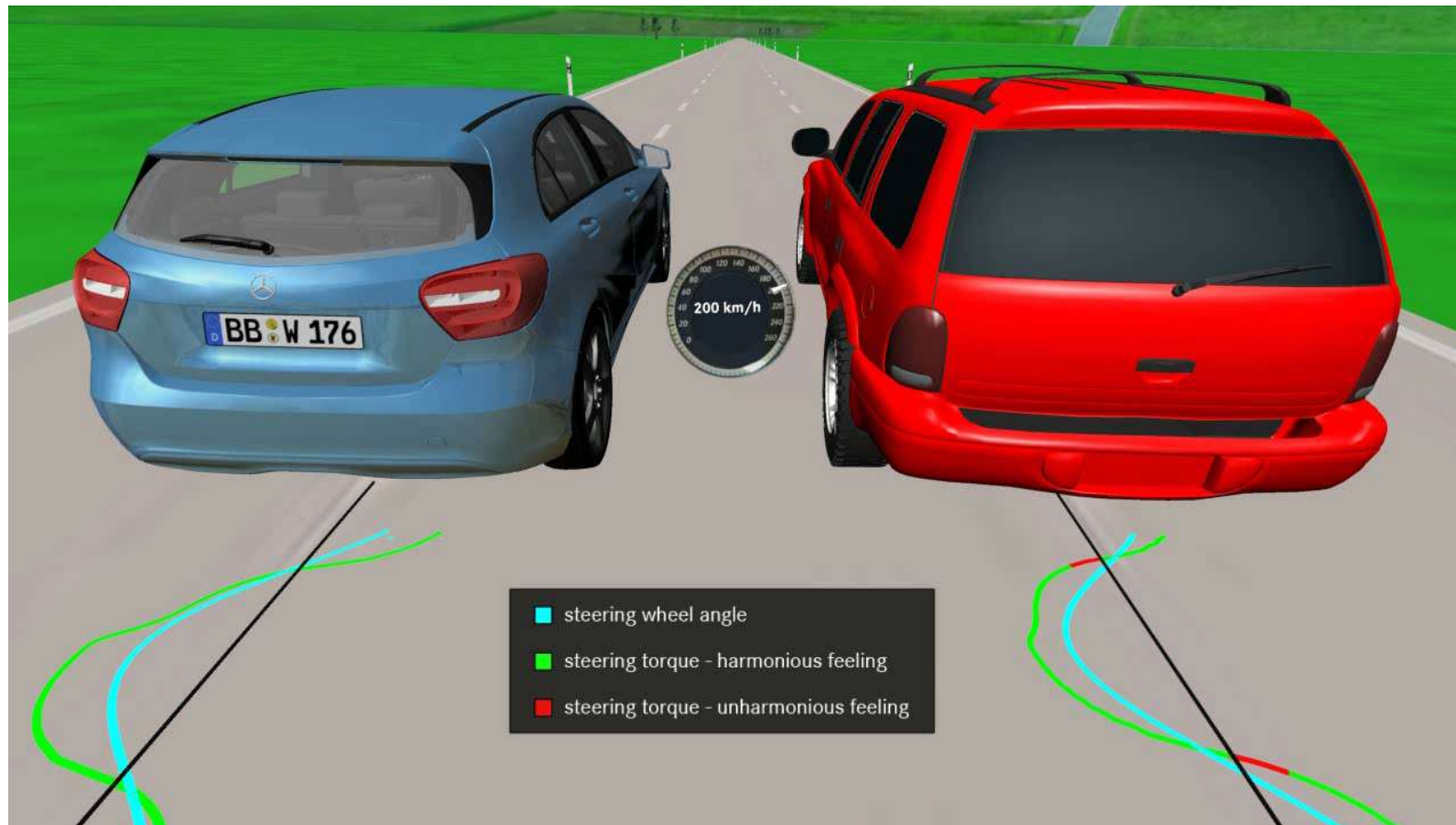
Weave Manöver

Gierverstärkung













Grundlagen

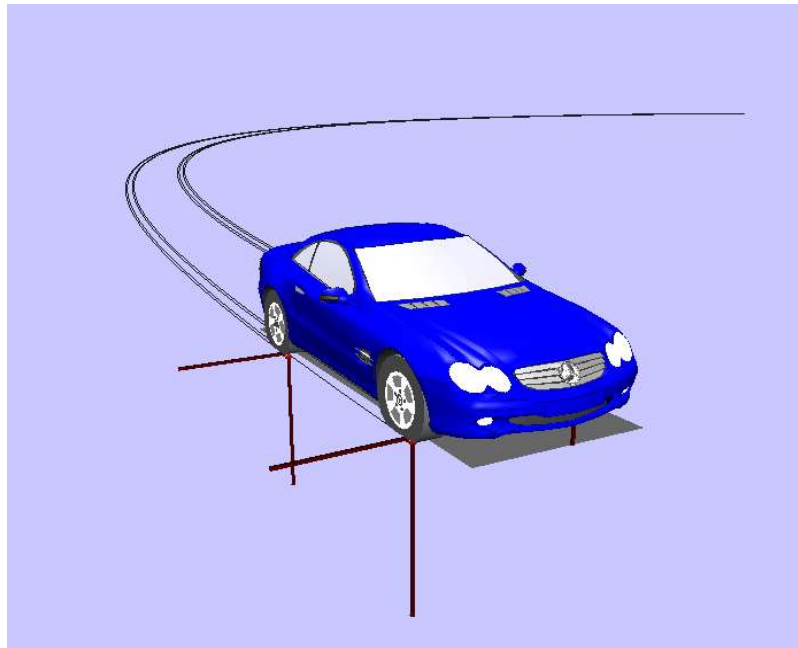
HIL (Hardware in the Loop)

Im Rahmen der Steuergerät-Abstimmung werden auf bewährte Simulations-, Meß- und Beurteilungsverfahren zurückgegriffen.

Bei der Simulation kommen für die Abprüfung der Fülle von möglichen Fahrsituationen verstärkt auch HiL-Methoden zum Einsatz.

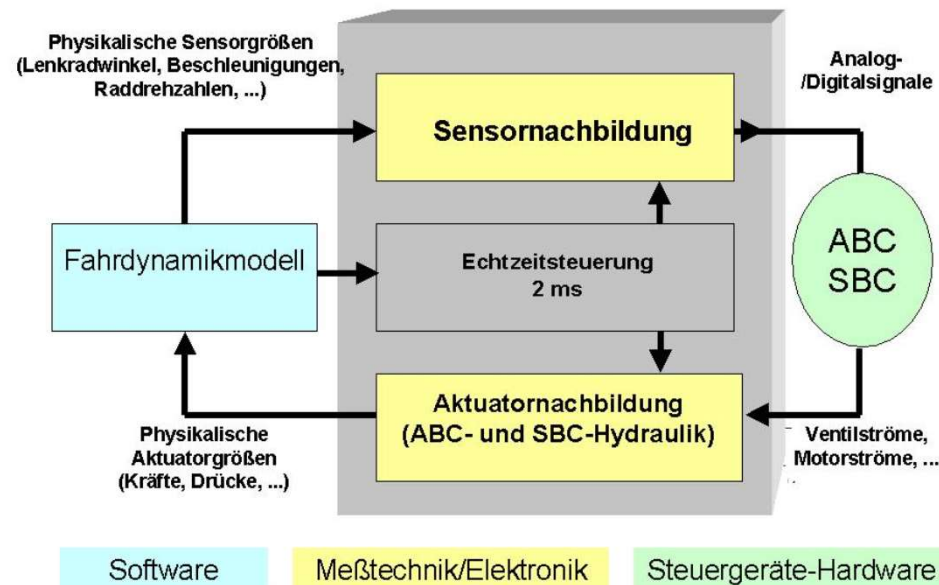
Die HiL-Simulation ermöglicht neben der Abbildung von klassischen fahrdynamisch relevanten Komponenteneigenschaften wie Reifen, Kinematik und Elastokinematik der Achsen, Fahrzeugmasse, Schwerpunkt usw. auch die Möglichkeit, die elektrischen Hardware-Steuergeräte für ABC und SBC in der Handling-Simulation zu integrieren.

Handling-Simulation
einer Kurvenfahrt



HIL (Hardware in the Loop)

Hardware in the Loop (HiL) – Aufbau für den SL500 mit ABC und SBC



Bei der Handlingsimulation wird das Fahrzeugverhalten im Frequenz-bereich bis etwa 5 Hz betrachtet.



Grundlagen

HIL (Hardware in the Loop)

Kernstück des Aufbaus ist das Fahrdynamikmodell, das über eine elektrische Sensor- und Aktuatornachbildung mit den elektrischen ABC- und SBC-Steuergeräten verbunden ist.

Dabei versorgt das Modell die Steuergeräte mit denjenigen Sensorsignalen, die sie im Fahrzeug von der Fahrzeugsensorik, wie Lenkradwinkelsensor, Beschleunigungssensoren usw. erhalten. Im Gegenzug erhält das Modell die Steuersignale von ABC und SBC, die im Fahrzeug die hydraulischen und elektrischen Steller ansteuern.

Mit HiL können wesentlich mehr Analysen von Fahrzeugkomponenten-, ABC- und SBC-Softwarevarianten durchgeführt werden, als das in einer reinen Erprobung auf der Straße bzw. auf dem Testgelände möglich ist.

Darüber hinaus bietet HiL hohe Reproduzierbarkeit und Automatisierung der Fahrmanöver, was für eine gezielte Herausarbeitung von Optimierungspotenzialen genutzt wurde.



Grundlagen

HIL (Hardware in the Loop)

Aufgrund der Vielzahl von Bauteilen und Ihren Eigenschaften mit einer Auswirkung auf das Fahrverhalten ist eine Erprobung und Absicherung in Prototypen in voller Breite praktisch ausgeschlossen. Beispielhaft wird die fahrdynamische Grenzmusterabsicherung beim Sinuslenken, Lenkwinkelsprung, Bremsen in der Kurve, Seitenwind, Kreisfahrt und Slalom vorgestellt.

Als Grenzmuster wurden unterschiedliche elastokinematische Eigenschaften der Vorder- und Hinterachse infolge Toleranzen der Achslagersteifigkeiten sowie Reifenquersteifigkeiten analysiert.

Fahrdynamik-Grenzmusteranalyse des SL500

